

Министерство геологии СССР

СЕВЕРО-ВОСТОЧНОЕ ТЕРРИТОРИАЛЬНОЕ ОРДENA ТРУДОВОГО
КРАСНОГО ЗНАМЕНИ ГЕОЛОГИЧЕСКОЕ УПРАВЛЕНИЕ

Уч. № 073

Г О С У Д А Р С Т В Е Н Н А Я
Г Е О Л О Г И Ч Е С К А Я
К А Р Т А С С С Р

масштаба 1:200 000

Серия Магаданская

Лист Р-55-XXXIII

ОБЪЯСНИТЕЛЬНАЯ ЗАПИСКА

Составил В.Е.Литвинов

Редактор Л.А.Павлюченко

Утверждено Научно-редакционным советом ВСЕГЕИ
25 октября 1973 г., протокол № 19

Москва 1978

С о д е р ж а н и е

Стр.

Введение	3
Геологическая изученность	5
Стратиграфия	8
Интузивные образования	31
Тектоника	50
Геоморфология	60
Полезные ископаемые	66
Подземные воды	75
Оценка перспектив района	77
Литература	81
Список проявлений полезных ископаемых	83

В В Е Д Е Н И Е

Территория листа Р-55-XXXIII ограничена координатами $60^{\circ}00'$ – $60^{\circ}40'$ с.ш. и $140^{\circ}00'$ – $147^{\circ}00'$ в.д. площадь ее 4102 км^2 . Она входит в Ольский район Магаданской области и Охотский район Хабаровского Края.

На территории находятся лавовые нагорья Сунтаро-Куветского ряда, Эльгенджинская и Челомджинская впадины Ямо-Тауйской депрессии [3]. В северной части района рельеф среднегорный с абсолютными отметками вершин 1000 – 1300 м (максимальная отметка 1381 м) и относительными превышениями 600–800 м. В южном направлении, по мере приближения к впадинам, среднегорный рельеф переходит в низкогорный. Абсолютные отметки здесь уменьшаются до 500–700 м, относительные превышения до 100–300 м. В бассейнах Хетанджи и Элганджи, занимающих среднюю часть территории, в пределах впадин развит равнинный рельеф с абсолютными высотами 198–268 м.

Среднегорный рельеф характерен для междуречья Челомджа-Бутыкан-Средняя, где вершины достигают высоты 1348 м, а относительные превышения равны 600–800 м. К Эльгенджинской впадине эти горы резко понижаются, на юго-востоке они постепенно сменяются низкогорьем с абсолютными высотами 600–800 м и относительными превышениями 300–500 м.

Гидросеть района принадлежит бассейну Охотского моря. Наиболее крупная река Челомджа, протекающая в близширотном направлении на восток. Ширина ее русла 50–70 м, глубина потока на перекатах 0,4–0,6 м, на плесах 2–3 м, скорость течения 3,5–5,5 км/ч, уклон долины 0,0023.

Левые притоки р.Челомджа – реки Хивэгчан, Бургагылкан, Хетанджа протекают в близмеридиональном направлении. Ширина их русел 30–50 м, глубина на плесах 1,5–2 м, скорость течения 4–5 км/ч, уклон

долин 0,0040–0,0095. Из правых притоков наиболее крупными являются реки Кутана и Елганда, ориентированные в северо-восточном направлении. В юго-западной части территории протекают реки Бутыкан и Средняя (верхние течения), впадающие в р. Каву за пределами района.

Минимальный уровень воды в руслах наблюдается в сентябре, максимальный – в первой половине июня. Во время сильных дождей уровень воды поднимается на 1,5–2 м. По рекам Челомджа и Бургагылкан возможен сплав на лодках.

В долинах Элгандахи, Кутаны и Хетанджи имеются небольшие (до 0,3 км²) озера термокарстового происхождения.

Климат района резко континентальный, с коротким летом и продолжительной зимой. Среднегодовая температура равна -11°, а среднемесячная изменяется от -32° в январе до +12° в июле. Годовое количество атмосферных осадков 550 мм в северной части района и 650 мм в южной, причем с апреля по октябрь вышает 90% годовой нормы осадков. Зимой преобладают северные ветры (скорость 2,4–3,7 м/с), летом – южные (скорость 2,3–2,8 м/с). Устойчивый снежный покров образует в конце сентября – начале октября и сходит во второй половине мая – начале июня. Реки замерзают в конце октября – начале ноября, вскрываются во второй половине мая. Большинство из них зимой перемерзает до дна, р. Челомджа участками не замерзает.

Территория расположена в зоне тайги и горной тундры. В поймах рек и на низких террасах произрастают даурская лиственница, тополь, ива-чозения, береза, реже черемуха, рябина с подлеском из смородины, шишовника, химолости. Высокие террасы, верховья ручьев и склоны водоразделов до высоты 900–1000 м заняты лиственничным редколесьем с густым подлеском из кедрового стланика, кустарниковой берески и ольхи. Выше распространены заросли кедрового стланика и карликовой берески, значительные площади здесь покрыты ягелем или лишены растительности.

Лес для строительства имеется в долинах Бургагылкана, Хетанджи, Бутыкана, Кутаны и др. Особенно много его в долине Челомджа, где участки строевого леса протягиваются вдоль реки полосами шириной 2–3 км. Хороших сенокосных угодий в районе нет, однако высас лощадей в летнее время возможен в долинах почти всех ручьев и рек.

Постоянное население в районе отсутствует. Ближайший населенный пункт – пос. Новая Яна расположен в 65 км от восточной границы территории. Никаких дорог на территории не имеется. Перевозка грузов возможна вьючным транспортом, а также на тракторах и вездеходах.

Обнаженность района удовлетворительная. Слоны гор покрыты маломощным (1–3–5 м) чехлом элювиально-делювиальных образований. Коренные обнажения наблюдаются в подмыываемых бортах долин и на вершинах хребтов.

ГЕОЛОГИЧЕСКАЯ ИЗУЧЕННОСТЬ

Изучение территории началось в 40-х годах этого столетия с геологических исследований в масштабе 1:500 000. Х.И. Калугин (1943 г.), проводил исследования в верховых Хивэгчана, он закартировал здесь позднемеловые гранодиориты и туфи кислого состава. На левобережье Челомджа П.С. Петров [18] выделил морские отложения пермской системы, горийского яруса, угленосную молассу нижнего мела и вулканогенные образования мелового возраста. Рыхлые отложения впадин были условно отнесены к нижне- и среднечетвертичным образованиям. Из интрузивных пород описаны лейкократовые граниты, гранодиориты, диориты, слагающие штоки и массивы, которые сформированы по его мнению, в различные фазы меловой интрузивной деятельности. Шлиховым опробованием в аллювии водотоков обнаружены знаки золота (реки Челомджа, Хивэгчан, Нелинъ), зерна кассiterита (руч. Гранитный, р. Хивэгчан) и киновари (руч. Гранитный). В верховых Хивэгчана установлено проявление каменного угля.

В 1949 г. Н.И. Лариным была составлена геологическая карта масштаба 1:500 000 (лист Р-55-В), на которой отражены все имеющиеся к этому времени сведения о геологическом строении территории.

Правобережье Челомджа закартировано в масштабе 1:500 000 партией под руководством К.Т. Злобина [10]. Здесь выделены горийские отложения и вулканогенные образования мелового-палеогенового возраста. Среди интрузивных пород описаны позднеюрские-раннемеловые габбро и позднемеловые граниты и гранодиориты, слагающие Кава-Челомджинский массив и небольшие штоки. Шлиховое опробование, выполненное Н.М. Ворониным, выявило знаковую золотоносность аллювия рек Бутыкана и Средней.

В 1955 г. Х.И. Калугиным составлена геологическая карта западной части Охотско-Колымского водораздела в масштабе 1:500 000. Для территории принципиально новым было выделение нижнепермских отложений в бассейне Верхней Хетанджи.

В бассейнах Хетанджи и Кутаны геологосъемочные работы в масштабе 1:500 000 проводил В.В. Закандырин [11], установивший на этом участке широкое развитие вулканогенных образований среднего и кислого составов. Первые из них были условно датированы ранним и поздним мелом, вторые – поздним мелом. В аллювии руч. Нелинъ лотковым опробованием обнаружены знаки золота, зерна деревянного олова и шеелита, а в верховых этого ручья выявлено рудообразование с содержанием золота 0,4 г/т.

В 1959 г. территория была охвачена аэромагнитной съемкой в масштабе 1:200 000 под руководством А.С. Жидова. Ряд выявленных аномалий ин-

тенсивностью до 2200 гамм он, на наш взгляд, недостаточно обоснованно связывает с полами аффузивов среднего и кислого состава и лейкократовыми гранитами.

В 1960 г. Н.И. Ларин составил лист Р-55 Государственной геологической карты СССР м-ба I:1 000 000. В рамках листа Р-55-ХХХ вулканогенные образования среднего состава отнесены к нижнему мелу, а кислого – к верхнему. Большинство интрузий датировано ранным мелом. Рыхлые отложения впадин отнесены к современным и средне-верхнечетвертичным образованиям.

В 1963 г. И.П. Закалкиним на площади листа проведена аэромагнитная съемка м-ба I:50 000 с попутными аэрорадиометрическими наблюдениями. По его данным в районе выделяются три зоны магнитных максимумов северо-западного простирания: Верхне-Челомдинская, Нижне-Бургагыканская и Верхне-Бургагыканская. Природа магнитных объектов осталась невыясненной. Радиоактивных аномалий на площади листа не обнаружено.

В 1964 г. И.В. Беляевым и М.Б. Горбачевой по материалам аэромагнитной съемки А.С. Жидова составлен лист Р-55-ХХХ карты аномального магнитного поля СССР м-ба I:200 000.

В 1965 г. под руководством В.А. Москалева выполнена гравиметрическая съемка м-ба I:1 000 000 бассейна Челомди. По данным этой съемки территория расположена в пределах Охотской и Яно-Колымской аномальных областей, различающихся глубиной залегания кристаллического фундамента (1-4 и 9-10 км соответственно). Граница между областями проходит по широтной зоне глубинного разлома, фиксируемого гравитационной ступенью.

В 1970-1971 гг. территория была покрыта геологической съемкой м-ба I:200 000, которую осуществляли В.Е. Литвинов, Н.Н. Курдин, Д.Н. Олейников, В.К. Фомин. В результате этих исследований установлены нижнепермские отложения, ранее условно выделенные Х.И. Калугиным, разделена на свиты толща верхнепермских пород, впервые обнаружены карнийские отложения. Вулканогенные образования позднего мела разделены на нараулийскую, хольчансскую, улинскую и ольскую свиты. Изучены и охарактеризованы спорово-пыльцевыми комплексами разрезы четвертичных отложений в долинах основных водотоков. Шлиховым опробованием выявлены значительные по площади ореолы рассеяния золота и олова. Обнаружен ряд участков концентрации гидротермальных образований, характеризующихся повышенным содержанием золота. Эти исследования существенно изменили представления о перспективности района и явились основанием для организации здесь крупномасштабных геологосъемочных работ.

В 1971-1972 гг. в бассейнах Бургагыкана и Хетанджи В.П. Карчавец и И.А. Бобырь [8] проводили геологическую съемку м-ба I:50 000 в комплексе с геофизическими наблюдениями. Геологосъемочными работами уточнены границы выходов карнийского и норийского ярусов, свит вулканогенной толщи верхнего мела и субвулканических тел. Выделены разнообразные фации вулканитов. Шлиховым опробованием подтверждена золотоносность аллювия водотоков; в аффузивах хольчанской и улинской свит выделены участки концентрации кварцевых жил и метасоматически измененных пород с содержанием золота до 3 г/т и серебра до 1000 г/т.

Результаты профильной и площадной магнитной съемки м-ба I:25 000 в целом согласуются с данными аэромагнитной съемки И.П. Закалкина. Четкими положительными аномалиями выделяются субвулканические тела базальтов и андезитов, покровы пород среднего состава и небольшие штоки диоритов. Профильная гравиметрическая съемка позволила уточнить мощность рыхлых отложений в неотектонических впадинах.

На территории листа имеется топосхема м-бов I:100 000 и I:200 000 хорошего качества, аэрофотоснимки м-бов I:80 000 и I:35 000 залетов 1946 г. и 1969 г. соответственно.

За основу составления данного листа взяты материалы геологических съемок м-бов I:200 000 и I:50 000, выполненных В.Е. Литвиновым, В.П. Карчавцом, И.А. Бобырем в 1970-1972 гг. Из остальных работ использованы сведения о полезных ископаемых, элементы залегания горных пород, а также учтены находки ископаемой флоры и фауны. При составлении карт использованы аэрофотоснимки м-ба I:35 000 залетов 1969 г. Декартригузмость снимков средняя. Декартригруются четвертичные отложения, большинство разломов, субвулканические тела базальтов, частично – контуры интрузий и выходы пластов в терригенных и вулканогенных толщах.

Представленная геологическая карта частично не увязывается с картой составленной в 1970 г. Г.В. Тафинцевым на смежную с севера территорию листа Р-55-ХХУП. Это объясняется выделением на рассматриваемой территории нижнепермских отложений, включенных Г.В. Тафинцевым в состав тасской свиты верхней перми, а также уточнением геологического строения вулканогенных образований в истоках Хетанджи после проведения геологической съемки м-ба I:50 000 [8]. Другие смежные листы не составлены.

По отношению к листу Р-55 Государственной геологической карты СССР м-ба I:1 000 000 на геологической карте листа Р-55-ХХХ м-ба I:200 000 детализировано геологическое строение в районах развития толщ терригенных и вулканогенных пород: выделены свиты и ярусы. Да-

тирован возраст рыхлых отложений неотектонических впадин. Интрузивные образования, отнесенные Н.И. Лариным к раннему мелу, датированы поздним мелом, учитывая данные К.Т. Злобина [10] В.Е. Литвинова [14].

Определение ископаемой фауны и флоры, собранной на территории листа, произвели специалисты Северо-Восточного территориального геологического управления: Ю.М. Бычков, В.А. Зимин, В.М. Заводовский, В.П. Кинасов, Ю.Н. Попов, Ю.С. Репин, Г.Г. Филиппова и С.В. Мейен (АН СССР). Силикатные анализы магматических пород выполнены в Центральной химической лаборатории СВТГУ: Н.Н. Базиевым, З.И. Карпичевой, М.В. Кондрашиной, Л.А. Финогеновой. Спорово-пыльцевой анализ проб из четвертичных отложений выполнен А.Н. Куравлевой - сотрудником этого же управления.

Сведения о полезных ископаемых даны на карте по состоянию на I января 1973 г.

С Т Р А Т И Г Р А Ф И Я

На территории распространены терригенные отложения нижней и верхней перми, верхнего триаса, нижнего мела, вулканогенные толщи верхнего мела и рыхлые четвертичные образования.

ПЕРМСКАЯ СИСТЕМА

Пермские отложения территории представлены морскими терригенными осадками верхоянского комплекса и разделены на нижнепермские и верхнепермские. Литология последних весьма сходна с литологией верхней перми в Аян-Юряхском антиклиниории, особенно в верхней и средней частях разреза. Нижняя часть (тасская свита), в отличие от Аян-Юряхского антиклиниория, имеет довольно четкую границу с нижнепермскими отложениями и объем ее значительно меньше, чем в стратотипическом разрезе, описанном В.Д. Володиным на территории листа Р-55-ХХII.

Н и ж н и й о т д е л (P_I)

Наиболее древние в районе нижнепермские отложения представлены преимущественно алевролитами и распространены в бассейнах Верхней Хетанджи и Икара. Возраст отложений подтверждается находками ископаемой флоры. В соседнем районе, на территории листа Р-55-ХХIII, в аналогичных отложениях известны также находки раннепермской фауны - *Metalegoceras aff. tschernyschewi* (Karp.) [16].

В бассейне верхнего течения Икара наблюдалась [14] следующая последовательность в залегании пород нижней перми^{X)} (в м):

I. Темно-серые горизонтальнослоистые алевролиты около 200

2. Темно-серые мелкозернистые песчаники, песчанистые алевролиты с горизонтальной или линзовидной слоистостью. В алевролитах остатки *Kolymia* sp. indet., *Pleurotomaria* sp. indet 350-400

3. Темно-серые неслоистые, линзовидно-слоистые алевролиты с прослоями глинистых сланцев и остатками *Kolymia quadrata* Lutk. et Lob. *K. inoceramiformis* Lich., *K. pterinaeformis* Popow, *Pleurotomaria* sp. . . . около 700

На правобережье Хизэгчана в кровле, вероятно, этой же пачки глинистые сланцы содержат остатки ископаемой флоры: *Rufloria ex gr. derzavini* (Neub.) S. Meyen, *R. cf. rasskazovae* S. Meyen, *Crassinervia ex gr. kuznetskiana* (Chachl.) Neub., *Pecopteris* ? sp., датирующие, по заключению С.В. Мейена, раннюю пермь.

Общая видимая мощность нижнепермских отложений достигает 1250-1300 м.

Кроме перечисленных органических остатков, в отложениях нижней перми собраны *Kolymia lenaensis* Popow, *K. irregularis* Lich., *Allorisma gibbosa* Masl., *Neospirifer* sp. (бассейн руч. Икара, определение В.М. Заводовского)

В е р х н и й о т д е л (P₂)

Граница между нижне- и верхнепермскими отложениями на территории в известной мере условна и проводится по подошве песчаниковой толщи, содержащей в соседнем районе (20 км от северной рамки листа) остатки позднепермской фауны: *Licharewia stuckenbergi* (Netsch.), *Nuculana magna* Popow [16].

Верхнепермские отложения характеризуются непрерывным разрезом и на основании литологических особенностей разделены на тасскую, атканскую и кулинскую свиты.

Тасская свита (P₂ t_S)

Отложения тасской свиты представлены песчаниками с прослоями конгломератов, глинистых сланцев и распространены в бассейнах Икара и Верхней Хетанджи. Отнесение этой толщи к тасской свите основа-

^{X)}Здесь и далее разрезы дочетвертичных отложений описываются снизу вверх

но на ее стратиграфическом положении в разрезе перми – залегает на нижнепермских отложениях и перекрываются характерными породами атканской свиты.

В бассейне верхнего течения Икара на отложениях нижней перми согласно залегают [14] (в м):

I. Серые и темно-серые мелковзернистые песчаники с прослойями (1-1,5 м) горизонтальнослоистых алевролитов, вулканомиктовых гравелитов, редко мелкогалечных конгломератов.
Остатки фауны *Kolymia irregularis* Lich . . . 150-200

2. Ритмичное переслаивание вулканомиктовых конгломератов, песчаников и глинистых сланцев с отпечатками *Recptoperis sp.* . . . около 600

На левобережье руч. Хитрого и в приусадебной части Икара в аналогичной пачке собраны остатки *Annularia sp.*, *Crassinervia sp.*

3. Темно-серые алевролиты, глинистые сланцы с прослойями вулканомиктовых песчаников 150

На левобережье руч. Хитрого аналогичная пачка содержит редкие остатки *Kolymia? sp. indet.*

Общая мощность тасской свиты 900-950 м.

Атканская свита (P_2at)

Отложения атканской свиты представлены алевролитами, содержащими обломки и гальку эфузивных, вулканомиктовых пород, и распространены в междуречье Икара–Верхней Хетанджи, в бассейне нижнего течения Икара.

На правобережье Верхней Хетанджи на отложениях тасской свиты согласно залегают [14] (в м):

I. Темно-серые "галечные" алевролиты, переслаивающиеся с глинистыми сланцами, прослои (до 2 м мощности) вулканомиктовых гравелитов 300

2. "Галечные" алевролиты с прослойями (1-2 м) неслоистых и линзовиднослоистых алевролитов 300

Общая мощность атканской свиты здесь 600 м.

В бассейне нижнего течения Икара мощность атканской свиты уменьшается до 200-300 м, а алевролиты здесь содержат редкие остатки *Kolymia sp. indet.*, *Pleurotomaria sp. indet.*

Нерючинская и кулинская свиты неразделенные (P_2ng+k1)

Отложения нерючинской и кулинской свит представлены песчаниками, алевролитами, гравелитами, конгломератами и распространены в междуречьях Икара–Верхней Хетанджи и Бургагылана–Хивэгчана, на правобережье Хивэгчана.

В бассейне Верхней Хетанджи на породах атканской свиты согласно залегают [14] (в м):

1. Серые мелковзернистые вулканомиктовые песчаники	150
2. Темно-серые алевролиты	40-50
3. Зеленовато-серые горизонтальнослоистые аргиллиты	около 100
4. Серые вулканомиктовые гравелиты с прослойями (0,1 м) крупнозернистых песчаников	3
5. Серые вулканомиктовые гравелиты, переслаивающиеся (0,2-0,5 м) с неслоистыми серыми алевролитами	3,5
6. Неслоистные и горизонтальнослоистые серые алевролиты	4
7. Серые вулканомиктовые гравелиты	1,5
8. Неслоистные и горизонтальнослоистые серые алевролиты	8
9. Серые, темно-серые неслоистые и горизонтальнослоистые алевролиты с прослойями (0,2-3 м) мелко- и среднезернистых серых песчаников. В алевролитах – растительные остатки	30
10. Серые гравелиты с прослойями (0,2-0,5 м) крупно и среднезернистых песчаников и мелкогалечных вулканомиктовых конгломератов	50
Общая мощность нерючинской и кулинской свит	
	390-400 м.

В междуречье Икара–Хивэгчана отложения нерючинской и кулинской свит содержат редкие остатки *Kolymia sp. indet.*, а их мощность здесь уменьшается до 200-300 м. В бассейне нижнего течения Хивэгчана и в междуречье Бургагылана–Хивэгчана мощность этих отложений увеличивается, видимо, до 600-700 м.

Вулканомиктовые гравелиты и песчаники тасской свиты на 70-90% сложены обломками андезитов (преобладают), фельзитов, дацитов, плагиоклаза и кварца, погруженными в глинисто-гидрослюдистый цемент. Обломки эфузивов хорошо окатаны, кварц и плагиоклаз чаще встречаются в виде плохо окатанных зерен.

"Галечные" алевролиты атканской свиты – весьма характерные породы, состоящие из темно-серой алевритовой массы, в которой заключены серые, светло-серые обломки андезитов, дацитов, вулканомиктовых песчаников. Обломки пород – угловатые, окатанные; преобладающий размер 1–2 см, реже 5–6 см. Обычно они занимают 10–15% объема породы.

Вулканомиктовые гравелиты, конгломераты нерючинской и кулинской свит на 90% сложены хорошо окатанными обломками андезитов, фельзитов, реже алевролитов, кварца, плагиоклаза. Цемент карбонатный, хлоритовый.

ТРИАСОВАЯ СИСТЕМА

Верхний отдел

Карнийский ярус (T_3^k)

Карнийские отложения представлены алевролитами, алевролитово-глинистыми сланцами, песчаниками. Распространены они на правобережье Хетанджи, в междуречье Бургагыкана-Хивэгчана, на правобережье Хивэгчана (ниже устья руч. Икара) и в бассейне верхнего течения Бутыканы.

В междуречье Бургагыкана-Хивэгчана на отложениях нерючинской и кулинской свит верхней перми со стратиграфическим несогласием залегают серые мелкозернистые песчаники мощностью около 150 м с остатками *Halobia cf. superba* Mojs., *Oxytoma cf. koniense* Tschk. [14]. Стратиграфически выше залегают норийские слои.

На правобережье Хетанджи, где подстилающие отложения не вскрыты, разрез карнийского яруса следующий [8] (в м):

1. Темно-серые линзовиднослоистые алевролиты	20
2. Песчанистые линзовиднослоистые алевролиты, переслаивающиеся со средне- и крупнозернистыми кварцево-полевошпатовыми песчаниками. В песчаниках линзы (толщиной до 0,2 м) кварцевых гравелитов и остатки <i>Halobia ex gr. austriaca</i> Mojs., <i>Oxytoma cf. mojsisovicsi</i> Tell., <i>Tosapecten?</i> sp. indet., <i>Chlamys</i> sp. indet., <i>Gryphaea</i> sp. indet., <i>Gastropoda</i> gen. indet.	50
3. Песчанистые линзовиднослоистые алевролиты	65
4. Алевролиты, переслаивающиеся со среднезернистыми песчаниками	45

5. Зеленовато-серые алевритово-глинистые сланцы, переслаивающиеся со светло-серыми песчанистыми алевролитами	75
6. Серые и темно-серые алевритово-глинистые сланцы с остатками <i>Halobia</i> sp. indet., <i>Oxytoma</i> sp. indet., <i>Chlamys</i> sp. indet., <i>Entolium</i> sp. indet., <i>Ochotoma</i> sp. indet	15
7. Преимущественно серые мелкозернистые известковистые песчаники	10
8. Зеленовато-серые алевролиты	5
9. Темно-серые алевритово-глинистые сланцы	60

Стратиграфически выше согласно залегают слои с остатками норийской фауны. Общая видимая мощность карнийских отложений здесь 345 м.

В бассейне верхнего течения Бутыканы карнийский ярус сложен темно-серыми алевролитами с редкими остатками *Halobia* sp. indet. Видимая мощность отложений здесь не менее 500 м.

Норийско-рэтские (?) отложения территории по литологическим особенностям и комплексам фаунистических остатков подразделяются на нижненорийские и верхненорийско-рэтские (?) образования.

Нижненорийский подъярус ($T_3 n_1$)

Нижненорийские отложения представлены преимущественно песчаниками и распространены на правобережье Хетанджи, в междуречье Бургагыкана-Хивэгчана, на правобережье Хивэгчана, в междуречье Икара-Верхней Хетанджи и в бассейне верхнего течения Бутыканы. На правобережье Хивэгчана и в междуречье Икара-Верхней Хетанджи нижненорийские отложения со стратиграфическим несогласием перекрывают верхнепермские осадки, в остальных районах – согласно залегают на карнийских породах.

На правобережье Хетанджи наблюдалась следующая последовательность в залегании нижненорийских пород [14] (в м):

1. Темно-серые мелкозернистые песчаники с линзами ракушечника. Остатки фауны: <i>Monotis ochotica</i> (Keys.), <i>M. ochotica</i> var. <i>densistriata</i> Tell	около 150
2. Темно-серые горизонтальнослоистые песчанистые известняки	40-50
3. Темно-серые песчаники с прослоями (1-2 м) ракушечников из створок <i>Monotis ochotica</i> (Keys.), <i>M. ochotica</i> var. <i>densistriata</i> Tell	150

4. Зеленовато-серые туфопесчаники с остатками *Aequipesten?* cf. *koniensis* (Tuchk.), *Chlamys* sp. indet. 80-100
Общая мощность отложений нижненорийского подъяруса 420-450 м.

Кроме указанных остатков фауны в отложениях нижненорийского подъяруса собраны: *Monotis scutiformis* var. *typica* (Kipar.) M. *scutiformis* cf. *daonellaeformis* Kipar., *M. sublaevis* (Tell.), *M. cf. pinensis* West., *M. cf. salinaria* (Schloth.), *M. ochotica* var. *pachypleura* Tell., *M. ochotica* cf. var. *eurhachis* Tell., *M. zabaikalica* (Kipar.), *Entolium ex gr. kolymense* Kipar.

Верхненорийский подъярус и рэтский (?) ярус ($T_3^{n_2+r?}$)

Верхненорийские и рэтские отложения представлены алевролитами, алевритово-глинистыми сланцами с прослойями песчаников и распространены в междуречье Хетанджи-Бургагылкана, на правобережье Бургагылкана и в бассейне среднего течения Хивэгчана.

В междуречье Хетанджи-Бургагылкана на песчаниках нижненорийского подъяруса согласно залегают [14] (в м):

1. Темно-серые алевритово-глинистые сланцы с маломощными (до 0,1 м) прослойями песчаников. Ископаемые остатки: *Oxytoma cf. mojsisovicci* Tell., *Chlamys? privalnjensis* Polub., *Lima cf. transversa* Polub., *Ochotonota* sp. indet. . . . 90-100

2. Песчаники с прослойями горизонтально-слоистых алевролитов. Остатки фауны: *Oxytoma ex gr. mojsisovicci* Tell., *Tosarpecten cf. hiemalis* (Tell.), *Gastropoda* gen. indet. . . . 10

3. Темно-серые линзовидно-слоистые алевролиты с редкими остатками *Pentacrinus ex gr. subangularis* Mill., *Pleuromya* sp. indet. . . . 350-400

Общая мощность верхненорийско-рэтских отложений около 500 м.

Не исключено, что верхние горизонты описанной толщи являются нижнерусскими образованиями. Норийские туфопесчаники на 90% сложены обломками (0,2-0,4 мм) андезитов, фельзитов, плагиоклаза и кварца. Примерно 40% обломочной части составляют засметно оплавленные обломки эфузивных пород. Цемент - глинисто-хлоритовый, типа выполнения пор. Норийские известняки сломлены пелитоморфным карбонатом (кальцитом?), насыщенным тонкодисперсным органическим веществом, с фрагментами створок цепепипод и члениками морских лилий. В небольшом количестве встречаются алевритовые и псаммитовые обломки плагиоклаза.

В карнийских алевролитах алевритовая фракция занимает около 70% объема породы, представлена угловатыми зернами кварца и альбита. Цемент - глинистый с хлоритом и серпентитом, базального типа. Норийские алевролиты отличаются от карнийских тем, что в цементе первых наряду с глинистым веществом, хлоритом и серпентитом часто отмечается карбонат.

МЕЛОВАЯ СИСТЕМА

Нижний отдел (K_I)

Нижнемеловые отложения представлены песчаниками, гравелитами, конгломератами, алевролитами, углисто-глинистыми сланцами, залегающими со стратиграфическим и, по-видимому, угловым несогласием на норийско-рэтских породах.

Об угловом несогласии судить трудно, так как в районе взаимоотношения нижнемеловой толщи с подстилающими породами в коренных обнажениях не наблюдалось; по данным Г.В. Табинцева [20] угловое несогласие наблюдается на соседней с севера территории листа Р-55-ХХIII.

Нижнемеловые отложения распространены в бассейнах Бургагылкана и Хивэгчана, где они в той или иной мере охарактеризованы ископаемой флорой. В бассейне Средней породы нижнего мела остатков флоры не содержат и выделены несколько условно.

Остатки ископаемой флоры, собранные на территории, по заключению Г.Г. Филипповой, представлены формами широкого возрастного диапазона: они встречаются как в юрских, так и нижнемеловых отложениях. В соседнем с севера районе (бассейн Широкой). И.А. Навловым, проводившим геологосъемочные работы масштаба 1:50 000, в основании толщи собраны остатки *Cladophlebis cf. aldanensis* Vachr., [17], напоминающие, по заключению Г.Г. Филипповой, поздненорийские формы. Таким образом, не исключено, что нижние горизонты рассматриваемой толщи имеют поздненорийский возраст.

В бассейне Бургагылкана наблюдалась следующая последовательность залегания пород нижнего мела (в м):

- | | |
|---|-----------|
| 1. Серые крупнозернистые туфопесчаники | 10 |
| 2. Темно-серые глинистые сланцы . . . | 100-150 |
| 3. Среднезернистые песчаники, переслаивающиеся с вулканомиктовыми гравелитами | около 100 |
| 4. Серые неслоистые, горизонтально- и косослоистые мелкозернистые песчаники . . | около 150 |

5. Среднезернистые неслоистые гравийные песчаники с отдельной мелкой галькой алевролитов	около 150
6. Диззивиднослоистые мелкозернистые песчаники	около 200
7. Зеленовато-серые гравийные песчаники с прослойками мелкогалечных конгломератов . . .	около 100
Общая видимая мощность нижнемеловых отложений достигает 810-850 м.	

На правобережье нижнего течения Бургагылкана и в верховьях Близкого среди терригенных пород наблюдались прослои туфов андезита.

В бассейне Хивэгчана о составе отложений нижнего мела можно судить по двум разрезам. На левобережье Хивэгчана (в 5 км ниже устья руч. Икара) наблюдались (в м):

1. Желтовато-серый туфопесчаник	4,7
2. Серый туфопесчаник	5
3. Горизонтальнослоистый серый песчаник	1,5
4. Пепельно-серый песчаник с растительным детритом	10
5. Горизонтально- и волнистослоистые темно-серые алевролиты	2
6. Темно-серые аргиллиты с углефицированными растительными остатками	2
7. Неслоистые и горизонтальнослоистые темно-серые алевролиты	2,5
8. Серый туфопесчаник	0,4
9. Темно-серые аргиллиты	0,3
10. Серый туфопесчаник	0,3
II. Неслоистые и горизонтальнослоистые темно-серые алевролиты с растительным детритом	0,8
12. Серый песчаник	0,2
13. Темно-серые аргиллиты с растительным детритом	0,3
14. Серый песчаник	0,6
15. Неслоистые, горизонтально- и косослоистые темно-серые алевролиты с обильными растительными остатками	12
16. Серые пористые пепловые туфы	0,6
17. Темно-серые алевролиты	1,1

I8. Темно-серые неслоистые и горизонтальнослоистые аргиллиты	I
I9. Темно-серые аргиллиты с прослойками серых туфопесчаников и остатками <i>Equisetites cf. ferganensis</i> Sew., <i>Cladophlebis</i> sp. indet.	2,3
20. Пепловые туфы	0,7
21. Темно-серые неслоистые и горизонтальнослоистые аргиллиты	1,6
22. Серый песчаник с растительными остатками	3,2

Общая видимая мощность по разрезу 53,2 м.

Несколько иной характер наложения пород нижнего мела наблюдался в верховьях Хивэгчана, где отчетливо видна ритмичность отложений. Видимая мощность изученных отложений достигает 40 м. В верхней части разреза наблюдались прослои (до 1 см) каменного угля. Мощность ритмов изменяется от 0,3 до 1,6 м. Первый элемент ритма представлен песчаником, второй - волнистослоистым алевролитом, третий - углисто-глинистым или глинистым сланцем, аргиллитом. Ритмы встречаются как полные, так и неполные (состоящие из одного-двух элементов).

П.С. Петров отмечает [I8], что на правобережье Хивэгчана, примерно в 2 км ниже приведенного разреза, наблюдался пласт каменного угля мощностью 0,1 м.

Ископаемая флора на территории представлена остатками: *Equisetites cf. ferganensis* Sew., *Ginkgo cf. concinna* Heer, *Cladophlebis cf. haiburnensis* (L. et H.) Brongn., *Pityophyllum angustifolium* (Nath.), *P. staratschini* (Heer) Nath., *Phoenicopsis ex gr. angustifolia* Heer, *Podozamites* sp., *Desmiphylum* sp. (кра - нижний мел).

Литокластические туфы андезита характеризуются псамmitовой, мелкогравийной, литокластической структурой. Цемент фельзитовидный с хлоритом, углисто-глинистым веществом, мелкими обломками (0,02-0,04 мм) кварца и альбита и тонкораспыленным лейкоксеном. Обломочная часть занимает около 80% объема породы и представлена андезитами, редко фельзитом. Преобладающий размер обломков 0,2-0,3 мм, редко 1-2 мм.

Пепловые туфы состоят из фельзитовидной пористой основной массы с незначительным количеством (10-15%) остроугольных обломков кварца, разложенных полевых шпатов, фельзита, редко алевролитов. Размер обломков 0,1-0,2 мм.

Туфопесчаники на 70-90% объема сложены угловатыми обломками (0,3-0,5 мм) альбита, андезитов, реже кварца, алевролитов, вулкани-

ческого стекла. Цемент - глинистый, хлоритовый, базальный и типа выполнения пор. Аксессорный минерал - циркон, рудные - ильменит, гидроокислы железа. Песчаники на 60-70% объема состоят из угловато-окатанных обломков (0,1-0,3 мм) альбита, кварца, редко андезитов, фельзита. Цемент - углисто-глинистый, хлоритовый с серпшитом и карбонатом, базальный и типа выполнения пор. Аксессорные минералы - апатит, сфен; рудные - магнетит, ильменит.

Алевролиты обладают алевритовой, микрослоистой структурой. Цемент - хлоритово-серпшитовый базального типа. Обломочная часть занимает 60-70% объема породы и состоит из угловато-окатанных зерен кварца и альбита. Аксессорный минерал - циркон, рудный - ильменит.

Аргиллиты состоят из угловато-окатанных обломков (0,2 мм и меньше) плагиоклаза и кварца, занимающих 10-15% объема породы и погруженных в гидрослюдистый цемент. Местами в цементе наблюдаются скопления карбоната и обрывки растительной ткани.

Верхний отдел (K_2)

К верхнему мелу отнесены толщи эфузивов кислого и среднего составов, залегающие с угловым несогласием на терригенных отложениях верхнего триаса. По-видимому, угловое несогласие существует также между верхнемеловыми эфузивами и нижнемеловыми терригенными породами, так как в последних наблюдались небольшие линейные складки с крутыми (60-70°) углами наклона крыльев, совершенно не характерные для верхнемеловой толщи. Позднемеловой возраст вулканических пород принимается по аналогии с соседним районом (территория листа 0-55-ХХVII), где в верховых руч. Мугурдаха Х.И. Калугиным [12] в основании вулканогенной толщи собраны остатки флоры: *Cephalotaxopsis heterophylla* Holl., *C. microphylla* Holl., *C. aff. magnifolia* var. *successiva* Holl., *Sequoia obovata* Knowlt. . (определение А.Ф. Ефимовой). На севере вулканические толщи непосредственно прослеживаются в район, где они охарактеризованы приведенной флорой. В южной части, на правобережье Челомджа, позднемеловой возраст пород принят условно.

На территории верхнемеловые эфузивы разделяются по составу на четыре толщи, первая (снизу) сложена лавами андезито-дацитов, андезитов, вторая - туфами, игнимбритами, лавами преимущественно кислого состава, третья - андезитами, четвертая - преимущественно игнимбритами кислого состава. Сходные разрезы вулканогенных образований описаны В.В. Закандыриным [5,6] в верховых Сеймкана и Армани. Он отнес первую толщу к нараулийской свите, вторую к хольчанской, третью - к ульинской, четвертую - к ольской. На основании сходства

вещественного состава пород с разрезами вулканитов в этих районах, верхнемеловые вулканогенные образования территории данного листа можно с известной долей условности параллелизовать с нараулийской, хольчанской, ульинской и ольской свитами.

Нараулийская свита (K_2 nr?)

К нараулийской свите условно отнесены покровы андезито-дацитов, андезитов бассейна руч. Близкого и на левобережье Средней. Здесь покровы пород среднего состава залегают гипсометрически ниже вулканогенных образований кислого состава, и, по-видимому, подстилают их. Отсутствие коренных обнажений в этих районах создает известные трудности в изучении разрезов покровов. Нараулийская свита в нижней части разреза сложена роговообманковыми андезито-дацитами, в верхней части преобладают двупироксеновые андезиты. Мощность свиты изменяется от 200 м в бассейне руч. Близкого до 400-500 м на левобережье Средней.

Андезито-дациты имеют порфировую структуру, основная масса микролитовая. Вкрашенники (0,2-2 мм) занимают до 15% объема породы и представлены андезином № 45 и желтовато-зеленой роговой обманкой ($c:Ng=15^\circ$; $Ng-Np=0,22$). Основная масса сложена микролитами (0,1 мм и менее) плагиоклаза, девитрифицированным стеклом, реже встречаются ксеноморфные зерна кварца, чешуйки хлорита, иголки амфибола, эпидот. Аксессорные и рудные минералы (до 2,5%) - апатит, магнетит, ильменит.

Хольчанская свита (K_2 hl)

Свита сложена туфами, игнимбритами кислого состава и небольшими потоками липаритов, кварцевых трахитов. В основании свиты иногда наблюдаются линзы туфоконгломератов. Вулканогенные образования хольчанской свиты распространены в верховых Хивэгчана, бассейне Хетанджи, бассейнах Елганджи и Кутаны, бассейне среднего течения Бутыкана; отдельные поля хольчанских пород наблюдаются по правобережью Челомджа.

В бассейне нижнего течения Хетанджи наблюдался следующий разрез хольчанской свиты (в м):

I. Зеленовато-серые игнимбриты дацитового состава	210-220
2. Светло-серые, преимущественно афировые, реже порфировые липариты и их туфы	120-150
3. Темно-серые горизонтальнослоистые пепловые туфы	10

4. Темно-серые, коричневые лавы и игнимбриты кварцевых трахитов	150-200
Общая мощность 490-580 м.	

Несколько иной разрез хольчанской свиты наблюдался на правобережье Челомджи в районе устья руч. Важного. Здесь залегают (в м):

1. Зеленовато-серые псаммитовые кристаллолитокластические туфы липарита с линзами пепловых туфов	5
2. Серые горизонтальнослоистые пепловые туфы	4,5
3. Мелкогалечные туфоконгломераты с линзами черных углистых аргиллитов и серых пепловых туфов	4
4. Мелкогалечные туфоконгломераты с прослойями и линзами крупногалечных конгломератов	20
5. Светло-серые псевфитовые кристалло-литокластические туфы липарита с обломками углисто-глинистых сланцев	2
6. Желтовато-серые флюидальные липариты и их туфы	80-100
7. Зеленовато-серые кристалло-литокластические туфы, игнимбриты дацитового состава . . .	160-200

Общая мощность 275-335 м.

В бассейнах Елганджи и Кутаны хольчанская свита в нижней части разреза сложена темно-серыми, зеленовато-серыми туфами и игнимбритами дацитового состава, в верхней части наблюдаются прослои темно-серых аргиллитов, пепловых туфов, покровы желтовато-серых кварцевых трахитов.

Мощность хольчанской свиты здесь достигает 400-500 м.

Лавы липаритов - афировые, порфировые, иногда флюидальные породы с фельзитовой, микропойкилитовой, основной массой. Вкрашенники (размером 1-7 мм) занимают до 10-25% объема породы и представлены альбитизированным и серицитизированным плагиоклазом, реже кварцем. Кварц также образует небольшие скопления зерен в основной массе и иногда выполняет лиофизы. В основной массе наблюдаются чешуйки хлорита, серицита, единичные зерна циркона, апатита, турмалина. Рудные минералы - магнетит, ильменит.

Лавы и игнимбриты кварцевых трахитов [8] темно-серые, коричневатые флюидальные породы с белыми вкрашенниками (1-3 мм) плагиоклаза. Лавы обладают фельзитовой основной массой со следами течения и линзами стекла, раскристаллизованного до образования гребенчатых аксиолитовых и радиально-лучистых структур. В игнимбритах

наблюдаются участки основной массы с реликтами микроигнимбритовой структуры. Вкрашенники занимают 22-23% объема породы, представлены плагиоклазом № 25-30; часто альбитизированным и серицитизированным, реже кварцем и псевдоморфозами хлорита по цветному минералу. В игнимбритах 10-11% объема занимают обломки (1-2 мм) пород, представленных основной массой с трахитовой, микропойкилитовой, фельзитовой структурами. Аксессорные минералы - циркон, апатит; рудные - магнетит, ильменит. По химизму эти лавы и игнимбриты (табл. I, пробы 20, 21, 22) близки трахитам по Р.Дэли, отличаются от них пониженным содержанием известня и повышенным - кремнекислоты.

Игнимбриты дацитового состава характеризуются кристаллокластической, литокластической структурой, основная масса стекловатая, игнимбритовая, псевдофлюидальная. Плагиоклаз (18-24% объема) наблюдается в виде призматических, таблитчатых зерен, обломков кристаллов размером 0,1-2 мм, обычно замещен альбитом, серицитом, карбонатом, хлоритом, реже эпидотом, цеолитом. Цветной минерал (до 4% объема) представлен псевдоморфозами хлорита по амфиболу. Обломки пород (30-40% объема) - изометричной формы, типа "флямме" размером 0,3-6 мм, представлены андезитами, девитрифицированным стеклом. Аксессорные минералы - циркон, апатит; рудные - магнетит и ильменит. По химическому составу (табл. I, пробы I9) описанные породы близки дацитам, по Р.Дали.

Туфы дацита, липарита по составу весьма сходны с игнимбритами, отличаются от них меньшей степенью сваренности, отсутствием псевдофлюидальности и ярко выраженных "флямме", довольно частым присутствием обломков осадочных пород. Среди туф преобладают псевфитовые кристалло-литокластические разности. Разделение туф по составу (липаритовые, дацитовые) несколько условно: к туфам липарита отнесены породы, в обломочной части которых существенную роль играет кварц; там, где кварц не обнаружен или присутствует в единичных зернах, туфы отнесены к дацитовым.

Туфоконгломераты - породы бурого цвета, цемент - туфовый, базальный, местами соприкосновения. Галька угловато-окатанная, округлая или уплощенная размером от 1-3 до 10-15 см, редко встречаются валуны диаметром до 35 см. Галька и валуны покрыты коркой гидроокислов железа, представлены серыми липаритами, туфами кислого состава, кварцитами, углисто-глинистыми сланцами.

Улинская свита (K_2ul)

Вулканогенные породы улинской свиты сложены двупироксеновыми андезитами, реже встречаются брекчевые лавы андезита, трахиандезиты. Покровы андезитов распространены в бассейне Хетанджи, на

правобережье Челомджи, в верховых Бутыкана. В бассейне Бутыкана свита залегает на терригенных породах верхнего триаса, в остальных районах она перекрывает вулканогенные образования хольчанской свиты.

Свита сложена двупироксеновыми андезитами. На левобережье среднего течения Хетанджи, где в хольчанской свите развиты кварцевые трахиты, в небольших покровах ульинской свиты появляются трахи-андезиты. Здесь наблюдался следующий разрез (в м):

1. Зеленовато-серые брекчевые лавы андезита	10
2. Темно-серые трахиандезиты . . .	15
3. Темно-серые андезиты с вкраплениками (до 5 мм) плагиоклаза	25
Общая видимая мощность 50 м.	

В бассейне руч. Нелина, где свита залегает на хольчанских породах и перекрывается ольской свитой, мощность покрова андезитов изменяется от 100 до 300 м. В бассейне Елганджи мощность ульинской свиты достигает 300–400 м.

Двупироксеновые андезиты обладают порфировой структурой, основная масса гиалопилитовая. Вкрапленники (0,2–4 мм) занимают до 44% объема породы, представлены плагиоклазом № 35–50, моноклинным ($c:Ng=40^\circ$; $2V=+60^\circ$; $Ng-Np = 0,025$) и ромбическим ($c:Ng=0$; $2V=86^\circ$; $Ng-Np=0,010$) пироксенами. В основной массе встречаются скопления карбоната и эпидота. Аксессорные минералы – апатит, циркон; рудный – магнетит. Вторичные изменения выражались в серicitизации и карбонатизации плагиоклаза, замещении пироксена баститом.

Подобные двупироксеновые андезиты наблюдались в составе нараульской свиты.

Брекчевые лавы андезита содержат многочисленные угловатые обломки (до 5–10 см) основной гиалопилитовой массы андезитов. Связующая масса микролитовая, сильно карбонатизирована; цветной минерал полностью замещен хлоритом, плагиоклаз альбитизирован и серпентинизирован.

По химическому составу андезиты ульинской свиты (табл. I, проба 23) близки андезитам, по Р.Дэли, отличаясь несколько пониженным содержанием извести.

Трахиандезиты, характеризуются порфировой структурой, основная масса микролитовая. Вкрапленники (1–1,5 мм) занимают около 10% объема породы, представлены лабрадором № 50–55, альбитизированным калинатровым полевым шпатом и моноклинным пироксеном. Вкрапленники обнаруживают субпараллельную ориентировку. Основная масса сложена микролитами плагиоклаза (часто это альбит) и ксеноморфными

зернами моноклинного пироксена. Аксессорный минерал – апатит, рудный – магнетит. Химический состав породы (табл. I, проба 24) обнаруживает ее большое сходство с латитами, по Р.Дэли.

Ольская свита (K_{201})

Свита сложена в основном игнимбритами кислого состава. Покровы ольских пород залегают на вулканогенных образованиях хольчанско-ой, ульинской свит, реже на отложениях нижнего мела. Распространены породы на правобережье Бургагылкана (выше излучины), в бассейне верхнего течения Хетанджи и верховых Бутыкана.

В бассейне руч. Нелина и в верховых Бутыкана в основании ольской свиты залегает горизонт туфоконгломератов мощностью от 2–5 до 30–50 м [8]. Конгломераты окрашены в темно-серый цвет, сложены мелкой и крупной хорошо окатанной галькой, реже валунами андезитов, алевролитов, среднезернистых биотитовых гранитов. Цементтуфовый с видимыми зернами кварца. Стратиграфически выше залегает толща серых, зеленовато-серых, желтовато-серых в различной степени сваренных игнимбритов с многочисленными обломками кварца, мощностью от 300–400 до 600–650 м. В верховых Бутыкана игнимбриты иногда окрашены в темно-серый цвет за счет примеси углисто-глинистого вещества. Здесь же наблюдаются маломощные (5–10 см) линзы темно-серых аргиллитов, иногда с растительным детритом.

Общая мощность ольской свиты достигает 700 м.

Структура игнимбритов – кристаллокластическая, литокластическая, основная масса – стекловатая, игнимбритовая, псевдофлюидальная с обломками стекла типа "Фьямме". Плагиоклаз (24–31% объема) встречается в виде обломков кристаллов размером 0,3–2 мм и относится к олигоклазу № 20–21. Калинатровый полевой шпат (до 2%) наблюдается в виде призматических зерен, обломков кристаллов размером 0,3–0,8 мм; бесцветный, свежий, двусосный, отрицательный, с небольшим (20–30°) углом оптических осей. Кварц (15–16%) встречается в виде оплавленных зерен, обломков кристаллов размером 0,2–3 мм. Темно-коричневый биотит (2,5–3%) наблюдается в виде деформированных пластинок, чешуек размером 0,1–0,6 мм. Обломки пород (12–18%) изометричной формы с неровными краями, размер от 1–5 до 10–15 мм, наиболее часто представлены липаритами, дацитами, реже андезитами, кварц – полевошпатовыми алевролитами. Аксессорные минералы – циркон; апатит; рудный – магнетит. Вторичные изменения заключаются в альбитизации, серпентинизации плагиоклаза и хлоритизации биотита.

По химическому составу игнимбриты ольской свиты (табл. I, пробы 25, 26, 27) приближаются к липаритам и дацитам, по Р.Дэли. Иг-

нимбриты дацитового и липаритового состава различаются между собой значением натрия в сумме щелочей (характеристика "n" соответственно равна 71,6 и 60,7).

ЧЕТВЕРТИЧНАЯ СИСТЕМА^{x)}

Четвертичные образования на территории представлены аллювиальными, ледниковыми, водно-ледниковыми, озерно-болотными отложениями. По составу спорово-пыльцевых спектров и геоморфологическим соотношениям выделяются нижнечетвертичные, верхнечетвертичные и современные образования. Среднечетвертичные отложения не установлены, можно предполагать, что они залегают во впадинах под более молодыми образованиями.

Нижнечетвертичные аллювиальные доледниковые отложения (Q_1^I)

Эти отложения установлены на правобережье нижнего течения Хетанджи в пределах Челомджинской впадины, где они слагают цоколь надпойменной террасы высотой 4–4,5 м. В 14 км выше устья Хетанджи разрез этой террасы следующий^{xx)} (в м):

1. Почвенно-растительный слой	0,4
2. Буровато-серая супесь	0,6
3. Средняя и мелкая хорошо окатанная	

галька туфов кислого состава, липаритов, андезитов с песком, гравием и глиной (до 10%) 3

На глубинах 1,2 и 2,1 м были отобраны палинологические пробы, имеющие сходные спорово-пыльцевые спектры. В спектрах несколько превалирует группа спор (52,6–48,3%), в которой на первом месте стоят споры Polypodiaceae (47,4–43,4%), на втором – Sphagnum (39,9–37%); в меньших количествах встречены Lycopodiaceae (8,8–9,3%), Bryales (2,6–4,7%) и Ophioglossaceae (1,3–5,3%). Большой процент составляет и пыльца древесно-кустарниковой группы (40,5–46,2%). Семейство Betulaceae (59,7–51%) разнообразно по видовому составу: Corylus (1,1–1,4%), Betula древовидная (5,2–3,6%),

^{x)} Возможно, на правобережье руч. Колчана под четвертичными образованиями залегают плиоценовые глины.

^{xx)} Здесь и далее разрезы четвертичных отложений описываются стратиграфически сверху вниз

Betula Middendorffii (5,1–5,2%), Betula sect. Nanae (23,8–7,7%), Alnus (2,3–8,4%), Alnaster (22,2–16,8%). Семейство Pinaceae (40,3–49%) еще богаче видами: Picea sp. (4,5–5,2%), Picea sect. Eupicea (6,2–8%), Tsuga (4,5–6,3%), Pinus sp. (5,7–2,4%), Pinus n/p Diploxylon (2,9–2,8%), Pinus n/p Haploxyylon (13,1–21,2%), единичные зерна Larix. Picea sect. Omorica. Недревесная растительность (6,9–5,5%) состоит из пыльцы Cyperaceae, Ericales, Gramineae и других. С известной долей условности данный спектр можно датировать раннечетвертичным межледниковьем.

В 2 км ниже описанного разреза была выполнена профильная гравиметрическая съемка (рис. I, Б), по данным которой мощность рыхлых отложений на правобережье Хетанджи равна 140–180 м, на левобережье мощность вначале уменьшается до 100–80 м, затем возрастает до 300 м. По-видимому, в основании этой толщи могут залегать и более древние образования – плиоценовые.

Нижнечетвертичные (?) аллювиальные отложения эпохи раннешлейстоценового оледенения (Q_1^2 ?)

На левобережье Элганджи, правобережье Хетанджи, в бассейне нижнего течения Елаганджи эти отложения слагают террасы высотой до 150–160 м, значительно преобразованные денудацией. В междуречье Бургагылкана-Хивэгчана (бассейн руч. Колчана) нижнечетвертичными отложениями сложен холмистый водораздел с абсолютными высотами вершин 500–520 м и относительными превышениями 180–200 м. К нижнечетвертичным образованиям отнесен также аллювий верховьев руч. Шагата, выполняющий ложе древней долины, которая возвышается на современным руслом Бургагылкана на 140–150 м.

Наиболее детально нижнечетвертичные отложения изучены в междуречье Бургагылкана-Хивэгчана (бассейн руч. Колчана), где пройдено 10 шурfov и выполнен комплекс геофизических работ [8], по данным которых составлен предполагаемый разрез толщи рыхлых образований (рис. I, А).

Интерпретация кривых вертикального электропроводирования позволяет предположить, что на правобережье руч. Колчана нижнечетвертичные отложения эпохи оледенения залегают на плиоценовых (?) глинах. Мощность первых 20–60 м, последних 50–130 м. Эти два горизонта резко отличаются по электропроводимости: сопротивление верхнего 3000–10000 омм, нижнего – 150–400 омм.

На правобережье руч. Колчана нижнечетвертичные отложения, вскрытие 4 шурфами с максимальной глубиной 19,2 м на абсолютных высотах 380; 420; 500; 524 м, представлены галечниками с валунами (до 20%) гранитоидов. Размер последних не превышает 30–40 см в

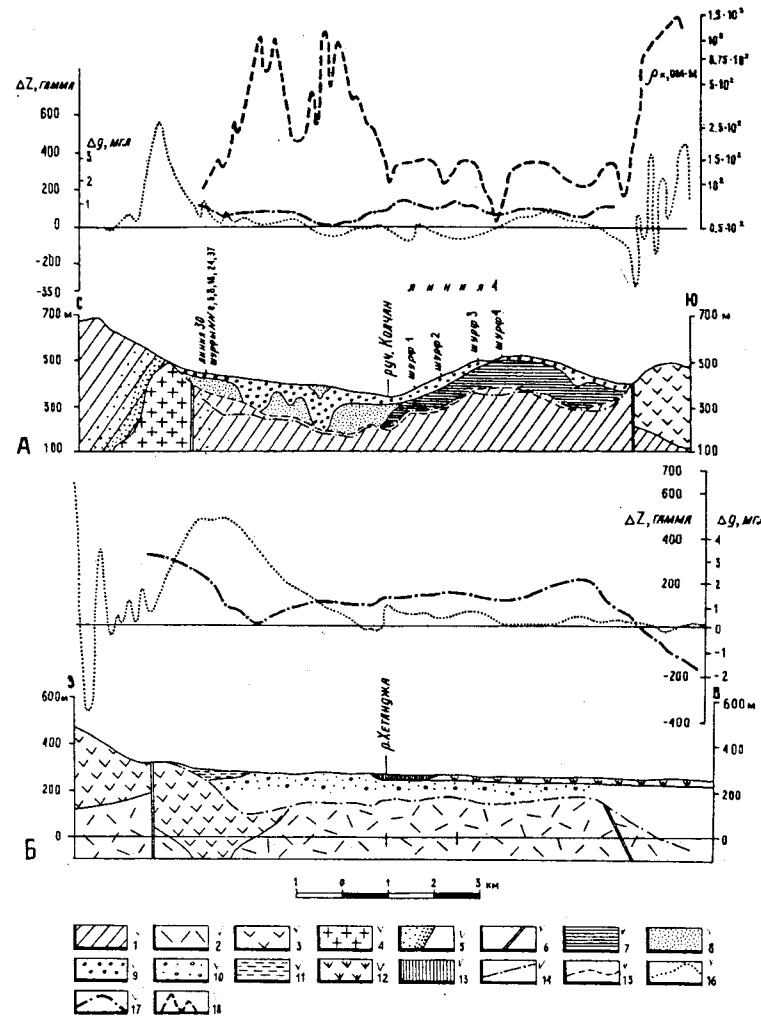


Рис. I. Геологические разрезы и данные гравимагнито-электроразведки: А - в междуречье Бургаглыкана - Хивэгчана; Б - в бассейне нижнего течения Хетанджи (с использованием материалов И.А. Бобиля [8]). Коренные породы: 1 - алевролиты; 2 - верхнетриасовые песчаники нижнего мела и верхнего триаса; 3 - верхнемеловые андезиты и лавы кислого состава; 4 - верхнемеловые кварцевые диориты; 5 - ореол кондезита; 6 - длизинкиты; 7 - плиоценовые тектонового метаморфизма; 8 - нижнечетвертичные (?) глины с сопротивлением 150-400 омм; 9 - нижнечетвертичные галечники с валунами и льдом, сопротивлением 3000-10000 омм; 10 - нижнечетвертичные галечники; 11 - верхнечетвертичные галечники; 12 - верхнечетвертичные торфяники;

диаметре. Цементирующая масса состоит из серого полимиктового песка, гравия, желтовато-серой, зеленоватой глины и небольшого количества льда. Состав гальки: алевролиты, песчаники, гранодиориты, гранит-порфиры, эфузивы среднего и кислого составов. Весьма характерна высокая степень выветрелости галек - крошатся в руках. Изредка встречаются остатки обуглившейся древесины.

Споро-пыльцевые спектры проб, отобранных из шурfov, характеризуют холодолюбивую растительность четвертичного времени [8], но они не типичны для нижнечетвертичных отложений эпохи оледенения, поэтому здесь не приводятся. Однако, учитывая, что отложения, вскрытые на абсолютной высоте 524 м и залегают на 180-200 м выше уровня современных водотоков, их целесообразно относить, по нашему мнению, к эпохе раннечетвертичного оледенения. На левобережье руч. Колчана мощность нижнечетвертичных отложений, определенная методом вертикального электроздонирования и профильной гравиметрической съемкой, достигает 200 м, постепенно уменьшаясь в северном направлении. По электропроводности здесь выделяются три горизонта: нижний, залегающий на коренных породах мезозоя, характеризуется сопротивлением 1000-2000 омм; средний - 3000-10000 омм; верхний - 1000-2000 омм (см. рис. I, А).

Средний горизонт был вскрыт 6 шурфами с максимальной глубиной 20 м на абсолютной высоте 440 м. Рыхлые отложения здесь представлены галечниками с валунами гранитоидов и линзами песка мощностью до 3 м. По составу и электропроводности средний горизонт аналогичен нижнечетвертичным отложениям правобережья руч. Колчана. О составе нижнего и верхнего горизонтов судить трудно, но, судя по их электропроводности, можно предполагать, что это галечники без валунов. Не исключено, что в основании этой толщи залегают нижнечетвертичные межледниковые отложения, аналогичные установленным на правобережье Хетанджи.

Верхнечетвертичные отложения территории отнесены к каргинским межстадиальным образованиям и сартанской стадии оледенения.

13 - современные галечники. Граница коренных пород: 14 - по данным гравиметрической съемки; 15 - по данным вертикального электроздонирования; 16 - график ΔZ ; 17 - кривая Δg в редукции Буге со снятым региональным полем; 18 - кривая ρ' симметричного электрофилирования

**Верхнечетвертичные аллювиальные отложения
эпохи каргинского межледниковых (Q_{III})**

Эти отложения слагают III надпойменную террасу высотой 25 м и II надпойменную террасу высотой 8-13 м. III надпойменная терраса встречена в долине Хетанджи и в виде небольших участков, не выражавшихся в масштабе карты, в долинах Верхней Хетанджи, Еланджи. II надпойменная терраса широко развита в основных водотоках района - Челомджа, Хетанджи, Бургагылкане, Бутыккане и других реках.

На правобережье Хетанджи разрез рыхлых отложений следующий (в м):

1. Почвенно-растительный слой	0,5
2. Галечник	1,5
3. Мелтовато-серый полимиктовый песок с гравием	0,2
4. Косослоистый галечник с валунами	1,2
5. Песок с гравием	0,4
6. Галечник с валунами	3,4
7. Мелкая галька с песком и гравием	4
Общая видимая мощность 25,5 м.	

Состав валунов и галек: андезиты, липариты и их туфы, редко диориты.

В составе спектра пробы, отобранный с глубины 22 м, преобладает древесно-кустарниковая пыльца (68,6%) за счет представителей семейства бересклетовых: *Betula Middendorffii*, *Betula sect. Nanae* (31,5%), *Alnaster* (24,4%). Семейство *Pinaceae* представлено *Pinus n/p Haploxyylon* (36,9%) и *Larix* (1,8%). В группе спор (22,8%) первое место принадлежит *Sphagnum* (76,8%), меньше *Lycopodiaceae* (17,9%) и *Polypodiaceae* (5,3%). Группа недревесной пыльцы малочисленна (8,6%) и бедна. В ее составе: *Ericales*, *Cyperaceae*, *Ranunculaceae*. По заключению А.Н. Куравлевой, подобный спектр может характеризовать каргинские слои (Q_{III}). Каргинские образования вскрыты расчистками на II надпойменной террасе в долинах Хетанджи и Бутыкана. В долине Бутыкана они представлены галечником с небольшими валунами гранитоидов (мощность 8 м). В спектре пробы из нижней части разреза преобладает (70%) древесно-кустарниковая пыльца *Pinus n/p Haploxyylon* (11%), *Larix* (0,9%), *Betula sect. Nanae* (20,6%), *Betula Middendorffii* (2,1%), *Betula* древовидная (3,7%), *Alnus* (8,5%), *Alnaster* (53,2%). Группа спор (16,8%) состоит из *Sphagnum* и *Polypodiaceae*, реже встречаются *Bryales*, *Lycopodiaceae*, *Selaginella*. Недревесная пыльца (13,2%) представлена *Ericales*, *Gramineae*, *Cyperaceae*, *Ranunculaceae*. В спектре пробы из верхней

части разреза превалирует группа недревесной пыльцы (46,3%), очень богатая по видовому составу: *Potamogetonaceae* (2,7%), *Ericales* (6,7%), *Gramineae* (34,6%), *Cyperaceae* (6%), *Ranunculaceae* (18%), *Thalictrum* (6%), *Polygonaceae* (1,3%), *Polemoniaceae* (2%), *Caryophyllaceae* (2,7%), *Chenopodiaceae* (4,7%), *Artemisia* (4,7%), *Varia* (10,6%). Группа древесно-кустарниковой пыльцы (28,7%) по видовому составу бедна: *Betula sect. Nanae* (51,6%), *Betula Middendorffii* (2,2%), *Alnus* (5,4%), *Alnaster* (37,6%), *Salix* (2,2%), единичные зерна семейства *Pinaceae*. Группа спор (25%) представлена *Sphagnum* (72,9%), *Bryales* (12,3%) и *Selaginella* (2,5%). По заключению А.Н. Куравлевой, подобная растительность могла произрастать в условиях межстадиального потепления верхнечетвертичного оледенения, скорее всего в конце его. Вероятно, также к каргинским слоям относятся нижние горизонты аллювия II надпойменной террасы Челомджа, содержащие близ устья Хетанджи спорово-пыльцевой спектр, аналогичный приведенным выше [14].

Верхнечетвертичные образования эпохи сартанского оледенения (Q_{IV})

Эти образования представлены моренами, водно-ледниками и аллювиальными отложениями, торфниками.

Морены занимают небольшие площадки и имеют ограниченное распространение: они встречаются в верховых Хивагчана, на междуречье Челомджа-Бутыккан. Сложенны морены глибами и валунами гранитоидов, роговиков, эфузивных пород с примесью щебня, супеси и суглинка. Мощность их не превышает 30-40 м. В пользу принадлежности морен к последней стадии оледенения свидетельствуют хорошо сохранившийся ледниковый микрорельеф, четко выраженные цирки и небольшое удаление морен от области питания ледника.

К водно-ледниковым образованиям сартанской стадии оледенения отнесены рыхлые отложения I надпойменной террасы в верховых Хивагчана, которая развита вблизи морен. Разрез рыхлых отложений здесь следующий (в м):

1. Почвенно-растительный слой	0,3
2. Плохо окатанные обломки гранодиоритов, гравелитов, липаритов, связанные полимиктовым песком. Размер обломков 2-3 - 30 см	1,7
3. Галька, гравий, валуны, связанные песком. Окатанность материала средняя	I
4. Хорошо и плохо окатанная галька, валуны с песком	2,7
Общая мощность разреза 5,7 м.	

Аллювиальные отложения сартанской стадии оледенения слагают I надпойменную террасу (высотой 4–6 м) Челомджа, Бургагылкана, Хивэгчана, Хетанджи (среднее течение и верховья), Буттикана, Средней, Елганджи.

I надпойменная терраса, сложенная аллювием сартанской стадии оледенения, вскрыта расчистками на правобережье Хетанджи и в долине руч. Близкого (левого притока р. Челомджа).

На правобережье Хетанджи разрез террасы следующий (в м):

1. Почвенно-растительный слой	0,4
2. Галечник с небольшими валунами андезитов, гранодиоритов	1,7
3. Глинистый полимиктовый песок	0,3
4. Гравий с мелкой галькой андезитов . .	0,4
5. Галька с гравием и полимиктовым песком .	0,6
6. Галечник с небольшими валунами и линзами льда	1,1
Общая мощность разреза	4,5 м.

В спектре спорово-пыльцевой пробы, отобранный с глубины 3 м, на первом месте стоит группа спор (75,8%), представленная *Sphagnum* (47,2%), *Polypodiaceae* (38,4%), *Lycopodiaceae* (II,8%), *Bryales* (I,3%) и *Ophioglossaceae* (I,3%), Группа древесно-кустарниковой пыльцы (17,5%) представлена семействами *Betulaceae* (73,5%) и *Pinaceae* (26,5%), состоящими в основном из кедрового стланика, кустарниковой берески и единичных зерен *Alnus*, *Pinus* и/п *Diploxyylon*, *Picea sest.* *Euricea*. Группа пыльцы недревесной растительности (6,7%) представлена *Gramineae*, *Ericales*, *Cyperaceae*, *Onagraceae*. Полученный спектр несомненно отражает холодолюбивую растительность, а пыльца диплоидных сосен и ели, по-видимому, переотложена при размытии нижнечетвертичных образований.

В бассейнах Кутаны и Важного I надпойменная терраса высотой 4–6 м сложена темно-бурыми слоистыми торфяниками с примесью супесчаного материала. Торфяники наблюдались также на левобережье Хетанджи (нижнее течение), где они слагают верхнюю часть разреза II надпойменной террасы.

Современные образования (Q_{ly})

Эти отложения представлены аллювием, делювием и проловием. Интенсивно заболоченные участки поймы Челомджа с многочисленными мелкими озерами отнесены к озерно-болотным образованиям.

Эоловиальные отложения широко развиты на плоских водоразделах, представлены щебнем, суглинком, иногда глыбами. Мощность их 1–3 м, поэтому на карте они не показаны. Делювиально-проловиальные от-

ложения иногда имеют мощность 5–10 м, но занимают ограниченные площади, поэтому, как и первые, на карте не показаны.

К современному аллювию отнесены отложения пойм и пойменных террас высотой до 2 м. Наиболее широко современный аллювий развит в пойме Челомджа, ширина которой в отдельных местах достигает 8–10 км, представлен он галечниками, песками, илами. Мощность его оценить трудно, но, по-видимому, она может достигать 10–20 м.

ИНТРУЗИВНЫЕ ОБРАЗОВАНИЯ

Интузивные образования на территории представлены габбро, диоритами, кварцевыми диоритами, гранодиоритами, гранитами, кварцевыми сиенитами, которые слагают массивы и штоки различной формы и величины. Нередко они сопровождаются дайками соответствующего состава. Петрографический состав, взаимоотношения интузивных тел с вмещающими породами и между собой, даты абсолютного возраста позволяют отнести интузивные образования района к различным этапам позднемелового магматизма. К позднемеловым образованиям отнесены также субвуликанические тела и дайки, в том числе корни покровов, андезитов, липаритов. Возраст субвуликанических тел и даек базальтов условно принят как палеогеновый.

ПОЗДНЕМЕЛОВЫЕ ИНТРУЗИВЫ

Наиболее крупными интузивными телами в районе являются Майдандинский и Верхне-Челомдинский массивы. Верхне-Челомдинский массив расположен в бассейнах Буттикана, Средней и Верхней Хетанджи. В плане видимая часть массива приближается к форме эллипса, большая ось которого ориентирована в близмеридиональном направлении. Видимая длина массива достигает 70 км, ширина в среднем около 20 км. Углы падения восточного и юго-восточного контактов массива преимущественно крутые: от 60–70° (падение от массива) до вертикальных. В средней части массива, где наблюдается провес кровли, наряду с крутыми углами падения контактов отмечаются и пологие (10–20°, падение в сторону вмещающих пород).

Верхне-Челомдинский массив сформирован в три этапа позднемелового магматизма. К раннему этапу относится становление небольших интузивных тел габбро, диоритов; к среднему – внедрение гранодиоритов, гранодиорит-порфиров, кварцевых диоритов; в заключительный этап сформированы лейкократовые граниты.

Габбро (J_K_2) слагают конусообразное тело в верховых Средней. В плане выходы габбро округлой формы, занимают площадь около 35 км².

На северо-востоке, близ контакта, габбро постепенно сменяются диоритами (среди габбро появляются породы с атакситовой текстурой, состоящие из участков габбро и диоритов). Контакт габбро и диоритов, судя по очертанию границы в плане, имеет наклон к центру интрузии под углом 30–40°. В центральной части иногда наблюдаются полосчатые габбро. Полосчатость обусловлена концентрацией вдоль полос шириной 1–7 см темноцветных минералов и наклонена к центру интрузии под углом 40°.

Диориты ($\text{J}^0 \text{K}_2$) также наблюдаются в виде отдельных небольших (0,5–3 км²) выходов на левобережье Элганджи, левобережье Бутыкана, а также встречаются в виде крупных (до 1–2 км в поперечнике) ксенолитов среди гранодиоритов массива.

Габбро – массивные породы темно-серого цвета с зеленоватым оттенком, нередко с видимой вкрапленностью пирита, титаномагнетита. По петрографическому составу, при микроскопических исследованиях, различаются роговообманково-пироксеновые, пироксен-роговообманковые и роговообманковые габбро. По-видимому, это объясняется неравномерным распределением цветных минералов в габбро.

Роговообманково-пироксеновое габбро обладают ойтовой, участками сидеронитовой, структурой размер зерен 0,2–2,5 км. Состав^{x)}: лабрадор – 52; моноклинный пироксен (с:Ng=42°; 2V+58°) – 21; бурая роговая обманка (с:Ng=15°; 2V+80°)-II; пирит – около 12; титаномагнетит – около 4.

Пироксен-роговообманковое габбро характеризуется габбровой структурой, размер зерен 0,2–3 мм. Состав: лабрадор – 60; зелено-вато-бурая роговая обманка (с:Ng=16°; 2V+82°) – 25; моноклинный пироксен (с:Ng=45°; 2V+60°) – 7; титаномагнетит, пирит – 8.

Роговообманковое габбро, имеет габбровую структуру, размер зерен 0,3–5 мм. Состав: андезин-лабрадор – 50; зелено-вато-бурая роговая обманка (с:Ng=14°; 2V+72°) – 43; единичные зерна моноклинного пироксена; титаномагнетит – 5; апатит – 2.

Вторичные изменения пород выразились в серicitизации плагиоклаза и уралитизации амфиболя и пироксена. По химическому составу описанные породы близки оливиновым габбро, по Р.Дэли (табл. I, пропба I).

Диориты – массивные средне-мелкозернистые породы зеленовато-серого цвета. Структура – субофитовая, местами пойкилитовая; размер зерен 0,5–4 мм. Состав: зональный андезин № 37–45 – 54; зелено-вато-бурая роговая обманка (с:Ng=13°; 2V+66°) – 32; биотит – 5; кварц – 4; титаномагнетит – 4,5; циркон, – апатит – 0,5.

Вторичные изменения выразились в серicitизации плагиоклаза, хлоритизации биотита и широком развитии таёмолита и актинолита по

роговой обманке. По химическому составу (табл. I, пропба 4) описанные породы соответствуют диоритам, по Р.Дэли, отличаясь несколько повышенным содержанием кремнекислоты.

Гранодиориты ($\text{J}^0 \text{K}_2$) слагают юго-восточную часть Верхне-Челомджинского массива и распространены в бассейне Средней, на правобережье Бутыкана, в верховых Елганджи и на левобережье Элганджи. На правобережье Средней наблюдались [14] фациальные переходы гранодиоритов в кварцевые диориты, а на правобережье Елганджи близ контакта – в гранодиорит-порфирь.

Гранодиориты – массивные серые среднезернистые породы. Структура – гипидиоморфозернистая; размер зерен 0,2–2,5 мм. Состав: андезин № 31–55; кварц – 24; калинатровый полевой шпат – 8; биотит и роговая обманка – 10; апатит, циркон, магнетит – 3.

Вторичные изменения выразились в албитизации и серитизации плагиоклаза, хлоритизации цветных минералов и пелитизации калинатрового полевого шпата. По химическому составу описанные породы (табл. I, пропбы 5, 6) соответствуют гранодиоритам, по Р.Дэли.

Кварцевые диориты – массивные зеленовато-серые породы. Структура – гипидиоморфозернистая, размер зерен 0,2–2,5 мм. Состав: андезин № 37–64; кварц – 15; зеленовато-бурая роговая обманка (с:Ng=11°; 2V+67°) – 9,5; биотит – 8,5; магнетит, пирит – 2,5; циркон, апатит – 0,5. Вторичные изменения выразились в серитизации и карбонатизации плагиоклаза, хлоритизации цветных минералов.

Гранодиориты прорывают габбро, диориты и содержат ксенолиты последних [14].

Лейкократовые граниты ($\text{J}^0 \text{K}_2$) слагают центральную и северную части Верхне-Челомджинского массива (междуречье Челомджа-Бутыкан, бассейны Элганджи, Верхней Хетанджи). Небольшой выход гранитов наблюдается также в междуречье Восточный-Елганджа.

Среди лейкократовых гранитов различаются средне- и мелкозернистые. Совместно с мелкозернистыми нередко встречаются гранит-порфирь. Преимущественно мелкозернистые граниты распространены в бассейне среднего течения Верхней Хетанджи, на правобережье Челомджи, и слагают, по-видимому, апикальную часть интрузива.

Среднезернистые лейкократовые граниты – массивные розовато-серые породы, размер зерен 0,2–5 мм. Розовый оттенок породе придает цвет калинатрового полевого шпата. Структура – гранитовая, местами микропегматитовая. Состав: решетчатый калинатровый полевой шпат (2V+70°) – 60; кварц – 30,5; плагиоклаз № 23–30 – 7,5; биотит – 1,5; единичные зерна буровато-зеленой роговой обманки; циркон, апатит, сфен, ортит, магнетит – 0,5.

^{x)}Здесь и далее составы пород приводятся в объемных процентах.

Таблица I

Химический состав изверженных горных пород, %

№ III	Породы	SiO ₂	TiO ₂	Al ₂ O ₃	Fe ₂ O ₃	FeO	MnO	MgO	CaO	Na ₂ O	K ₂ O	-H ₂ O	+H ₂ O	P ₂ O ₅	COP ₂	Сумма	nnn	
I	2	3	4	5	6	7	8	9	10	II	12	13	14	15	16	17	18	19
Изверженные породы																		
1.	Роговообман- ково-пирок- сено-таб-	42,59	2,33	16,74	7,18	8,96	0,21	5,71	10,47	2,09	0,72	0,23	1,33	0,09	0,94	-	99,59	I,63
2.	Пироксен- рого-табло-	51,55	0,30	19,70	1,74	6,30	0,14	5,16	10,23	2,83	0,58	-	1,08	0,19	-	-	99,80	0,36
3.	Болит-рого- вобманковый	56,69	1,08	19,00	2,57	3,87	0,11	3,43	5,98	3,52	2,40	0,20	1,32	0,22	0,03	-	100,42	I,03
4.	То же	58,42	0,86	17,40	2,10	4,66	0,10	3,67	6,03	3,88	1,38	0,35	0,85	0,20	-	-	99,90	0,72
5.	Болит рого- вобманковый	65,81	0,50	15,78	0,99	3,55	0,07	1,68	4,02	3,93	2,41	0,40	0,54	0,11	-	-	99,79	0,72
6.	То же	67,43	0,49	15,38	1,28	2,51	0,06	1,62	4,02	4,10	2,41	0,25	0,55	0,13	-	-	100,23	0,51
7.	- "	66,93	0,30	15,96	0,48	4,20	0,08	0,97	2,34	3,77	3,61	0,05	1,00	0,10	-	-	99,79	0,72
8.	- "	67,70	0,50	13,20	3,12	3,65	0,08	1,16	1,97	3,80	3,85	0,22	0,82	0,12	-	-	100,19	0,72
9.	Лейкократо- ный гранит	73,52	0,20	13,65	0,50	1,85	0,05	0,32	0,45	4,45	4,43	-	0,40	0,01	-	-	99,83	0,25
10.	То же	71,62	0,28	14,29	0,23	2,47	0,05	0,42	1,34	4,20	4,51	0,25	0,41	0,07	-	-	100,14	0,46
II. Роговообман- ково-пирок- сено-табло-																		
10.	Роговообман- ково-пирок- сено-табло-	59,00	1,20	15,03	1,74	6,30	0,19	1,68	4,67	5,14	2,03	0,10	2,00	0,38	0,62	-	100,08	2,22

34

12.	Роговообман- ково-диоки- товый кварц- сиенит	64,82	0,80	15,08	2,41	3,00	0,12	1,28	2,32	5,11	2,67	0,15	1,30	0,21	1,06	-	100,33	2,00
Субвулканические породы																		
13.	Дупироксес- новый анде- зит	55,63	1,30	16,47	1,75	6,49	0,16	2,87	5,98	3,32	1,79	0,16	2,87	0,42	0,05	0,31	99,57	2,59
14.	Липарит	76,70	0,20	II,70	3,15	0,84	0,02	0,13	0,18	6,77	0,18	0,09	0,40	0,02	-	-	100,38	0,38
15.	То же	73,92	0,32	13,36	0,23	1,90	0,02	0,11	0,37	3,55	4,22	0,11	1,32	0,04	0,03	-	99,50	I,12
16.	- " -	72,98	0,32	14,56	1,43	1,58	0,03	0,08	0,40	6,16	1,53	0,21	1,09	0,02	0,03	-	100,42	I,00
17.	Пироксено- базальт	49,22	2,10	17,30	3,00	8,40	0,15	4,59	7,91	3,54	1,22	0,42	1,00	1,00	-	-	99,85	I,05
18.	То же	51,60	1,70	16,78	5,68	4,29	0,15	3,93	8,33	3,79	2,06	0,58	1,08	0,82	0,68	-	100,39	0,97
Вулканические породы																		
19.	Итимбрит дунитового состава	64,72	0,50	16,21	0,38	4,20	0,10	0,97	3,59	3,79	3,39	-	1,60	0,13	0,68	-	100,26	I,62
20.	Кварцевый трахит	67,98	0,76	15,30	0,99	2,53	0,14	0,79	0,66	5,22	3,82	0,26	1,12	0,12	0,02	-	99,71	I,20
21.	То же	68,86	0,54	15,06	0,65	2,58	0,11	0,53	1,03	3,99	4,16	0,13	1,57	0,06	0,03	0,21	99,51	I,35
22.	- " -	65,28	0,61	16,47	1,32	2,87	0,16	0,76	1,72	5,99	2,81	0,56	1,17	0,19	0,03	-	99,94	I,51
23.	Дупирок- севый андезит	59,48	0,90	14,08	5,07	4,20	0,12	2,45	6,09	3,37	2,25	0,08	1,90	0,25	-	-	100,24	I,47
24.	Грахиландеит	55,32	1,36	16,95	2,89	4,41	0,16	2,80	5,73	4,12	3,08	0,75	1,78	0,32	0,12	-	99,79	2,06
25.	Итимбрит дунитового состава	66,94	0,50	14,81	3,32	2,52	0,08	0,84	2,52	4,26	2,62	0,12	1,12	0,21	0,44	-	100,30	0,97
26.	Итимбрит пирит-дунито- вого состава	68,24	0,54	14,63	0,76	3,19	0,10	0,79	1,76	3,47	2,79	0,44	2,64	0,08	0,02	-	99,45	2,82
27.	Итимбрит пиритового состава	71,34	0,26	14,26	0,02	2,58	0,05	0,47	1,61	3,77	3,71	0,40	1,30	0,06	0,03	-	99,86	I,77

35

4

Продолжен. табл. I

Числовые характеристики по А.Н. Заварыкину

	I	2	3	4	5	6	7	8	9	10	II	12	13	14
a	6,0	7,5	11,6	10,1	12,1	12,2	13,4	13,6	15,6	15,4	14,4	15,2	10,4	14,2
b	9,0	10,1	7,5	6,5	4,6	4,1	2,8	1,9	0,5	1,5	2,9	2,5	6,5	0,2
c	30,9	20,2	12,4	14,6	7,4	7,5	8,3	8,3	3,3	3,2	13,6	7,6	15,3	3,6
d	54,1	62,2	68,5	68,8	75,9	76,2	75,5	76,2	80,6	79,9	69,1	74,7	67,8	82,0
e	-	-	-	-	-	-	-	-	23,5	4,2	-	-	-	-
f	15,0	14,5	1,2	7,2	4,6	18,0	-	5,6	-	20,5	4,1	8,1	-	-
g	34,0	45,5	48,8	46,4	39,0	36,0	19,6	22,6	13,7	20,8	21,5	28,8	33,6	5,6
h	51,0	40,0	50,0	46,4	56,4	46,0	53,4	71,8	62,8	75,0	58,0	67,1	58,3	94,4
i	83,0	88,4	68,5	80,6	71,6	72,0	61,4	60,1	60,2	58,6	79,7	74,1	73,9	98,0
j	3,9	0,4	1,4	1,0	0,5	0,5	0,4	0,5	0,5	0,3	1,5	0,9	1,7	0,2
k	21,3	7,8	18,4	13,2	11,1	14,4	4,9	30,7	11,7	4,2	II,2	27,2	10,4	73,5
l	12,8	0,7	6,3	10,9	23,0	23,9	21,4	23,3	29,5	27,5	6,5	16,5	8,3	35,4
m	0,6	0,7	1,5	1,5	2,6	3,0	4,8	7,5	31,2	10,2	5,0	6,1	1,6	71

	I5	16	17	18	19	20	21	22	23	24	25	26	27
a	13,4	15,0	10,0	11,5	13,5	16,8	14,6	17,4	10,7	14,1	13,4	II,6	13,4
b	0,4	0,5	7,2	5,8	4,4	0,8	1,3	2,1	4,2	4,7	3,1	2,1	2,0
c	5,0	5,4	22,4	20,7	6,3	6,4	6,7	5,8	16,0	14,4	6,9	8,6	4,6
d	81,2	79,1	60,4	62,0	75,8	76,0	77,4	74,7	69,1	68,8	76,6	77,7	80,0
e	57,9	48,5	-	-	-	28,1	41,8	10,3	-	-	3,0	41,8	30,9
f	-	-	13,1	22,4	1,6	-	-	21,0	17,2	-	-	-	-
g	4,2	2,9	36,5	32,8	26,8	20,6	13,0	21,9	26,1	34,0	20,5	15,5	16,4
h	23,2	30	1,4	2	3,1	2,1	II,6	8,2	2,5	3	4,3	5,5	6,7

	1	2	3	4	5	6	7	8	9	10	II	12	13	14
f	37,9	48,6	50,4	44,8	71,6	51,3	45,2	67,8	52,9	48,8	76,5	42,7	52,7	
g	55,9	85,7	81,1	74,0	62,9	67,7	58,9	76,5	69,9	66,9	71,6	65,1	60,7	
h	0,3	0,3	3,1	2,4	0,6	0,9	0,6	0,7	1,1	1,8	0,5	0,6	0,3	
i	3,4	21,8	12,1	24,2	6,6	12,6	8,0	19,0	27,1	17,6	41,2	7,2	0,3	
j	35,2	27,7	6,4	4,8	20,1	17,6	24,3	12,5	12,6	0,7	23,3	30,1	31,2	
k	23,2	30	1,4	2	3,1	2,1	II,6	8,2	2,5	3	4,3	5,5	6,7	

Места отбора проб: 1 - верховье Средней; 2 - левобережье Бургаликана; 3 - левобережье Хетанджи; 4 - правобережье руч. Восточного; 5,6 - бассейн Средней; 7,8 - правобережье Бургаликана; 9 - левобережье Челомдзы; 10 - правобережье Челомдзы; 11, 12 - бассейн руч. Бызакого; 13 - левобережье Бургаликана; 14, 15, 16 - бассейн Хетанджи; 17, 18 - междурурье Бургаликана-Хетанджи; 19 - верховье Хетанджи; 20, 21, 22 - бассейн нижнего течения Хетанджи; 23 - левобережье руч. Нелия; 24 - левобережье Хетанджи.

Пробы 3, 13, 15, 16, 20, 21, 22, 24, 26, 27 из коллекции В.П. Карчавца (1971 г.), анализировались Л.А. Финогеновой; оставльные - из коллекции автора (1970-1971 гг.), анализировались М.В. Кондратиной, Н.Н. Базиевым.

Мелкозернистые лейкократовые граниты – розовато-серые породы с размером зерен 0,2–1 мм. Структура – гранитовая, местами микропегматитовая. Состав: калинатровый полевой шпат ($2V=70^\circ$) – 55; кварц – 38; плагиоклаз № 9–15 – 5,5; биотит – I; апатит, магнетит – 0,5. Вторичные изменения в гранитах выразились в серицитизации и альбитизации плагиоклаза, пелитизации калинатрового полевого шпата и хлоритизации биотита. По химическому составу (табл. I, пробы 9,10) описанные породы близки аляскитам, по Р.Дали, отличаясь несколько повышенным содержанием щелочей.

Лейкократовые граниты рвут габбро и диориты и содержат ксенолиты последних [14], являясь, таким образом, самыми молодыми интрузивными породами в Верхне-Челомджинском массиве.

Породами, аналогичными габбро и диоритам Верхне-Челомджинского массива, сложен ряд штоков в бассейне верхнего течения Хетанджи, истоках руч. Близкого, на левобережье Елганджи и Восточного. Штоки габбро и диоритов (площадью 0,5–2 км²) в плане округлой формы имеют крутые углы падения контактов. По химическому составу (табл. I, пробы 2,3) породы соответствуют габбро и диоритам, по Р.Дали.

Гранодиоритами и кварцевыми диоритами, близкими по составу этим же породам Верхне-Челомджинского массива, сложены Майманджинский массив и штоки (площадью 2–15 км²), расположенные на правобережье Кутаны, в верховых руч. Парус, на правобережье и левобережье Бургагылана.

Майманджинский массив расположен в междуречье Бургагылана–Хивэгчана. Выходы интрузивных пород, слагающих массив, имеют в плане форму кольца. Они занимают площадь около 130 км². На востоке и юго-востоке углы падения контактов с вмещающими породами пологие – $10\text{--}20^\circ$ (падение от массива), на западе более крутые ($30\text{--}50^\circ$), иногда близки вертикальным. В центральной части массива наблюдается пронос кровли.

Массив сложен гранодиоритами. Совместно с ними как фациальная разновидность иногда встречаются граниты. К эндоконтактовым частям массива нередко приурочены кварцевые диориты и гранодиоритпорфиры. В районе излучины р. Бургагылана пологий эндоконтакт массива сложен гранит-порфирами.

Граниты – массивные порфировидные породы светло-серого цвета, размер зерен 0,5–4 мм, отдельные вкрапленники полевых шпатов достигают размера 10 мм. Структура – гранитовая; состав: зональный плагиоклаз № 20–40 – 36; калинатровый полевой шпат ($2V=66^\circ$) – 22; кварц – 32; биотит – 8; зеленая роговая обманка ($c:N_{g}=12^\circ$; $N_{g}-N_p=0,026$) – 1; циркон, рутил, апатит, магнетит – I.

В отличие от гранитов Верхне-Челомджинского массива в них из полевых шпатов преобладают плагиоклаз и содержит больше темно-цветных минералов.

Гранодиориты – массивные среднезернистые, иногда порфировидные породы светло-серого цвета, размер зерен 0,3–4 мм. Структура – гипидиоморфнозернистая; состав: андезин № 33–49; калинатровый полевой шпат ($2V=60^\circ$) – 17; кварц – 21; зеленая роговая обманка – 4; биотит – 8; апатит, циркон, сфеен, магнетит – I.

По химическому составу (табл. I, пробы 7,8) породы близки к гранодиоритам, по Р.Дали. Несколько повышенное содержание щелочей и пониженное – известиближе их с граносиенитами.

Кварцевые диориты ($q\delta K_2$) – массивные зеленовато-серые породы, размер зерен 0,2–4 мм. Структура – гипидиоморфнозернистая; состав: зональный андезин № 37–41 – 55; калинатровый полевой шпат ($2V=58^\circ$) – 6; кварц – 16; биотит – 13; зеленая роговая обманка ($c:N_g=18^\circ$; $N_g-N_p=0,025$) – 8; апатит, циркон, сфеен, магнетит – 2.

Вторичные изменения описанных пород выразились в альбитизации и серицитизации плагиоклаза, пелитизации калинатрового полевого шпата и хлоритизации цветных минералов.

Лейкократовые граниты помимо того, что участвуют в строении Верхне-Челомджинского массива, слагают два небольших штока. Первый из них (площадью около 2 км²) расположен в бассейне руч. Икара, имеет в плане изометричную форму, и, по-видимому, пологие контакты с вмещающими породами (судя по широкому ореолу контактово-измененных пород). Второй (площадью около 20 км²) расположен на правобережье Черемуховки и несколько вытянут в северо-западном направлении. Углы падения контактов с вмещающими породами крутые (падение от штока).

Отнесение интрузивных пород, слагающих Верхне-Челомджинский, Майманджинский массивы и ряд штоков, к позднемеловым образованиям основано на следующих фактах. Габбро и диориты прорывают и метаморфизуют вулканогенные образования хольчансской и улинской свит верхнего мела. Гранодиориты, кварцевые диориты прорывают и метаморфизуют вулканогенные образования всех свит верхнего мела, габбро, диориты. Аналогичные породы на территории листа Р-55–ХХУП (граниты и гранодиориты Майманджинского массива) имеют абсолютный возраст 87–104 млн. лет [20]; первая цифра наиболее вероятна. Лейкократовые граниты рвут и метаморфизуют вулканогенные образования всех свит верхнего мела, гранодиориты и на сопредельной территории листа Р-55–ХХУП имеют абсолютный возраст 67 млн. лет [20].

Кварцевые сиениты ($q\xi K_2$) слагают штоки в бассейне руч. Близкого и верховых Кутаны. Шток, находящийся в бассейне руч. Близкого,

занимает площадь около 18 км², в плане неправильной формы и несколько вытянут в близмеридиональном направлении. Восточный контакт штока с вмещающими городами пологий (20–30°, падение от штока), западный крутой, близкий вертикальному. В западной части штока развиты среднезернистые кварцевые сиениты, в восточной преобладают кварцевые сиенит-порфиры.

Кварцевые сиениты – массивные зеленовато-серые породы, размер зерен 0,4–5 мм. Структура – гипидиоморфозернистая. Состав: зональный плагиоклаз № 20–52 – 40; калинатровый полевой шпат – 32; кварц – 12; желтовато-зеленая роговая обманка ($c:Ng=16^\circ$; $Ng-Np=0,020$) – единичные зерна; биотит – 15; апатит, циркон, сфен, магнетит – 1.

Кварцевые сиенит-порфиры – розовато-серые порфировые породы с вкрапленниками (1–3 мм) плагиоклаза и амфибала; в основной массе (размер зерен 0,1–0,2 мм) – кварц, калинатровый полевой шпат, хлорит, эпидот. Структура – порфировая, основная масса – микрогранитовая. Состав: плагиоклаз № 30–40; калинатровый полевой шпат – 35; кварц – 10; желтовато-зеленая роговая обманка ($c:Ng=16^\circ$; $Ng-Np=0,022$) – 6; псевдоморфозы хлорита и эпидота по биотиту – 5; циркон, апатит, магнетит – 4.

Вторичные изменения, помимо отмеченных, выражались в серийтизации плагиоклаза, пелитизации калинатрового полевого шпата и хлоритизации амфибала. По химическому составу кварцевые сиениты (табл. I, пробы I2) близки к щелочноземельным роговообманковым сиенитам, по Р.Дэли, но отличаются повышенным содержанием кремнекислоты и преобладанием натрия над калием. Аналогичное строение и состав имеют штоки в бассейне верхнего течения Кутаны. Близкие по химическому составу породы известны в Майманджинском массиве.

Кварцевые сиениты прорывают вулканогенные образования хольчанской и ульинской свит верхнего мела. Аналогичные породы на территории листа Р-55-ХХУП имеют абсолютный возраст 78 млн. лет [20]. Возможно их эфузивными аналогами являются кварцевые трахиты хольчанской свиты, развитые в бассейне среднего течения Хетанджи. На этом основании возраст кварцевых сиенитов датирован поздним мелом.

Сиениты (Si_K_2) слагают небольшой шток, расположенный на правобережье руч. Близкого. Шток в плане окружной формы, диаметр его около 50 м. Углы падения контактов с вмещающими породами, по-видимому, крутые.

Сиениты – плотные мелкозернистые породы зеленовато-серого цвета, преобладающий размер зерен 0,5–1 мм. Структура – гипидиоморфозернистая; состав: альбит № 8–9 – 61,5; калинатровый полевой шпат – 11,5; кварц – 6; моноклинный пироксен ($c:Ng=38^\circ$; $2V+50^\circ$) – 2,5;

желтовато-зеленая роговая обманка ($c:Ng=19^\circ$; $Ng-Np=0,025$) – 1,5; хлорит – 15; апатит, магнетит, ильменит – 2. Хлорит развивается по плагиоклазу и замещает цветные минералы. Результат химического анализа (табл. I, пробы II) показывает весьма большое сходство породы с щелочноземельными сиенитами, по Р.Дэли. Отличие заключается в резком преобладании натрия над калием.

Сиениты прорывают нижнемеловые терригенные породы и по составу ближе всего стоят к кварцевым сиенитам, поэтому возраст их, как и последних, датируется поздним мелом.

Пространственно к Майманджинскому и Верхне-Челомджинскому массивам приурочены дайки габбро, гранодиорит-порфиров (U^TK_2) и гранит-порфиров (U^TK_2). Дайки наблюдаются в экзоконтактах интрузивных тел или рассекают их.

Дайки габбро представлены двумя поколениями: ранним и поздним. Дайки раннего поколения размещаются в экзоконтактах массивов – на правобережье Бургатыкана, на правобережье Челомджи и в верховых Бутыкана. Простижение даек северо-западное, почти широтное, длина 1–3 км, мощность от 10–12 до 100 м, падение чаще крутое, иногда пологое (30–40°). По внешнему облику и составу дайки аналогичны габбро Верхне-Челомджинского массива. Их возраст определяется тем, что они рассекают игнимбриты ольской свиты верхнего мела, но метаморфизуются гранодиоритами Майманджинского массива [14]. Метаморфизм заключается в новообразованиях мелкочешуйчатого биотита, андалузита и сфена. Скорее всего дайки раннего поколения являются жильной фацией ранее описанных габбро, участвующих в строении Верхне-Челомджинского массива и небольших штоков.

Дайки позднего поколения обычно наблюдаются среди лейкократовых гранитов (верховья Элганджи, междуречье Челомджа-Бутыкан, правобережье Елганджи), реже они рассекают гранодиориты (верховые руч. Гранитного). Простижение даек чаще северо-западное, близширотное, редко северо-восточное; длина 0,5–4 км, мощность изменяется от 1,5–2 до 3–5 м, падение крутое.

Габбро, слагающие дайки позднего поколения, – темно-серые породы с преобладающим размером зерен 0,5–1 мм, иногда наблюдаются фенокристаллы плагиоклаза размером 2–3 мм. Структура – призматическая-зернистая; состав: лабрадор № 60–65 – около 65; буровато-зеленая роговая обманка ($c:Ng=16^\circ$; $Ng-Np=0,018$) – около 25; моноклинный пироксен ($c:Ng=38^\circ$; $Ng-Np=0,029$) – до 5; апатит, магнетит – около 5. Для вторичных процессов весьма характерна уралитизация цветных минералов. Не исключено, что дайки габбро позднего поколения палеогенного возраста.

Дайки гарнодиорит-порфиров наблюдаются в экзоконтактовых частях гранодиоритов Майманджинского и Верхне-Челомджинского массивов,

по внешнему облику и составу близки гранодиорит-порфирам, залегающим в экзоконтактах массивов. Простирание даек северо-восточное, северо-западное, близмеридиональное; длина 1-2 км, редко они прослеживаются на расстояние до 4 км (верховья Средней). Мощность даек 5-30 м, углы падения крутые.

Гранодиорит-порфиры - серые породы с желтовато-белыми вкрапленниками (до 10 мм) плагиоклаза. Структура - порфировая; основная масса - микрозернистая, микропойкилитовая и занимает 50% объема породы. Вкрапленники представлены андезином № 32 (21%), кварцем (18,5%) и биотитом (9,5%); циркон, апатит, магнетит - 1%.

Дайки гранит-порфиров распространены в верховых Элганджи (среди лейкократовых гранитов), в районе излучины Бургагылкана (экзоконтакт Майманджинского массива); отдельные дайки встречены в междуречье Хивэгчан-Бургагылкан и в верховых Средней. Простирание даек чаще северо-западное; протяженность не более 1-2 км, мощность 1-4 м, углы падения изменяются от 30-50° до вертикальных.

Гранит-порфиры - светло-серые породы. Структура - порфировая; основная масса - микрогранитовая, микропегматитовая. Вкрапленники (размером до 3 мм) занимают около 30% объема породы, представлены альбитизированным плагиоклазом, пелитизированным калинатровым полевым шпатом и кварцем. В незначительном количестве встречаются зеленая роговая обманка и биотит. Аксессорные минералы: апатит, циркон, сфен, редко гранат.

Дайки гранодиорит-порфиров и гранит-порфиров, видимо, не только пространственно, но и генетически связаны с гранитоидами Майманджинского и Верхне-Челомджинского массивов.

Кроме даек в Майманджинском и Верхне-Челомджинском массивах встречаются аplitовые и пегматитовые жилы (P). На левобережье руч. Нелкалкана среди лейкократовых гранитов встречены обломки пегматитовой жилы, состоящей из серого кварца и розового калинатрового полевого шпата. Размер кристаллов 2-5 см. Судя по величине обломков, мощность жилы не менее 0,2 м. В верховых Средней встречена пегматитовая жила среди габбро. С небольшими перерывами она прослеживается на расстояние около 1 км, мощность 0,1-0,3 м, азимут падения 170°, угол 60°. Состав: альбит - 50; зеленовато-бурая роговая обманка - 40; хлорит - 6; кварц - 4; единичные зерна сфена и титаномагнетита. Для жилы характерны крупные (3-4 см) кристаллы роговой обманки.

АPLITОВЫЕ ЖИЛЫ мощностью от 1-2 см до 5 м имеют протяженность не менее 20 м. Это светло-серые, желтовато-белые плотные мелкозернистые породы, состоящие из пелитизированного калинатрового полевого шпата (50-60%), кварца (до 40%) и единичных зерен альбита, магнетита, чешуек биотита.

Позднемеловые субвулканические тела и дайки

Субвулканические тела и дайки андезитов (MgK_2) наиболее широко развиты на правобережье Бургагылкана, в междуречье Бургагылкана-Хетанджи и в бассейнах верхних течений Важного, Кутаны, Черемуховки. Реже они встречаются в бассейнах Хивэгчана, Бутыкана, Средней.

Дайки андезитов прослеживаются на расстояние от нескольких сотен метров до 3 км, простирание их различное: северо-западное, северо-восточное, близширотное, близмеридиональное. Мощность 5-30 м, углы падения контактов чаще крутые, иногда пологие (20-40°).

Андезиты, слагающие дайки, - плотные темно-зеленовато-серые породы с белыми вкрапленниками (2-5 мм) плагиоклаза, иногда афиевые с миндалинами (до 7 мм) карбоната. Структура - порфировая, основная масса - гиалопилитовая, пилотакситовая, интерсертальная. Плагиоклаз относится к андезину № 40-46, часто разложен и почти полностью замещен альбитом, серицитом, хлоритом, карбонатом, эпидотом. Цветной минерал полностью разложен и замещен уралитом, карбонатом, хлоритом. Основная масса состоит из микролитов плагиоклаза, хлоритизированного вулканического стекла и разложенного цветного минерала. Аксессорные минералы - апатит, рутил; рудные - магнетит, ильменит.

Субвулканические образования представлены несколькими морфологическими типами: силлами, некками, дайкоподобными телами, лополитами. Силлы мощностью до 200-300 м залегают в нижнемеловой терригенной толще в бассейне Бургагылкана. В плане они имеют причудливые очертания, которые в какой-то мере подчеркивают характер дислокаций вмещающих пород. Дайкоподобные тела мощностью 100-300 м прослеживаются по левобережью Бургагылкана на расстояние до 10 км. Простирание их северо-восточное, углы падения контактов близки к вертикальным. Иногда в раздувах ширина выхода субвулканических андезитов на поверхность достигает 1 км. Некки андезитов развиты на междуречье Бургагылкана-Хетанджи, в плане эллипсовидной, неправильной формы, площадь 2-5 км². Дайкоподобные тела и некки залегают среди терригенных пород триаса - нижнего мела.

Лополит, сложенный андезитами, расположен в бассейне верхнего течения Кутаны, в плане имеет вид кольца диаметром около 15 км. Углы падения контактов в периферических частях лополита пологие (10-30°, падение к центру тела), ближе к центральной части более крутые - 40-50°. Вмещающие породы - вулканогенные образования хольчансской свиты.

Наиболее детально изучен некк андезитов в верховых руч. Близкого. В плане он неправильной формы, максимальный размер в попереч-

нике 2,2 км. Юго-западный эндоконтакт субвулкана сложен темно-зеленовато-серыми порфировыми двутироксеновыми андезитами, падение плоскости контакта круглое, на юго-запад. Эти породы прослеживаются в северо-восточном направлении на расстояние около 1 км. Далее наблюдались в этом же направлении: зеленовато-серые порфировые миндалекаменные андезиты - 30 м, зеленовато-серые брекчевые лавы андезита полосчатой текстуры - 250 м. Полосчатость обусловлена сортировкой обломочного материала по величине. Ширина полос 5-10 см, ориентировка полосчатости - азимут падения 90°, угол 80°. Чередование андезитов и их брекчевых лав - 900 м.

Двутироксеновые андезиты имеют порфировую структуру, основная масса интерсертальная, местами поликристаллическая - пойкилитовая. Порфировые выделения (размером 2-4 мм) представлены плагиоклазом № 50, моноклинным и ромбическим пироксенами, зеленовато-бурой роговой обманкой. Основная масса состоит из плагиоклаза, пироксена, вулканического стекла и единичных ксеноморфных зерен кварца. Плагиоклаз по краям часто альбитизирован, в центральной части зерен серicitизирован и соссюритизирован. Ромбический пироксен почти целиком замещен баститом, по роговой обманке и вулканическому стеклу развивается хлорит. Состав породы: плагиоклаз - 63; кварц - 0,5; пироксен - 6; амфибол, бастит I3,5; хлоритизированное вулканическое стекло - I3; апатит, сфен, магнетит - 4.

Брекчевые лавы андезита обладают брекчевой текстурой (размер обломков до 3-4 см); структура - литокластическая, кристаллокластическая; основная масса - стекловатая, полностью хлоритизирована. Обломки кристаллов (0,1-0,2 мм) представлены альбитизированным, карбонатизированным и хлоритизированным плагиоклазом; обломки пород - андезитом. Состав: плагиоклаз - 9,5; обломки андезита - 50; основная масса - 39; апатит - 1,5.

По химическому составу (табл. I, проба I3) породы соответствуют андезитам, по Р.Дэли.

Аналогичными двутироксеновыми андезитами сложены субвулканические тела на левобережье Бургагылкана [8, I4]. Близкие по составу и структуре породы описаны К.Т. Злобиным [I0] из верховьев Кутаини.

Субвулканические тела и дайки андезитов прорывают вулканогенные образования хольчанской свиты верхнего мела, но рвутся и метаморфизуются кварцевыми сиенитами [I4]. По составу они близки покровам андезитов ульинской и нарауликской свит и, видимо, в большинстве случаев относятся к корневой их системе.

Субвулканические тела и дайки липаритов (MgK_2) наиболее широко развиты в бассейне верхнего течения Хетанджи, реже они встречаются в

ся в верховых Средней, Важного, на правобережье Челомджи, в бассейне Хивэгчана. Протяженность даек 1-4 км, простижение - северо-восточное, северо-западное, близширотное; мощность 2-40 м, редко достигает 100 м; углы падения контактов изменяются от 30-50° до вертикальных. Субвулканические тела в плане имеют неправильную форму выходов, извилистые очертания границ и занимают площадь до 8-9 км². Углы падения контактов изменяются от 40-50 до 80°.

Липариты - серые, желтовато-серые породы. Структура - порфировая; основная масса фельзитовая, микропойкилитовая, сферолитовая с многочисленными чешуйками серицита. Вкрапленники (размером 0,5-3 мм) представлены альбитом № 3-4 и кварцем и занимают 8,5-40% объема породы. Иногда наблюдаются шестоватые кристаллы цветного минерала (до 3%), полностью замещенного хлоритом, карбонатом и водными окислами железа. Аксессорные минералы - циркон, апатит; рудные - магнетит, пирит, часто разложенные и окруженные водными окислами железа.

В верховых Хетанджи встречена дайка витрофиров. Витрофир - красновато-коричневые породы со стеклянным блеском. Текстура - перлитовая, структура - витрофировая. Порода сложена кислым вулканическим стеклом с вкрапленниками олигоклаза № 25 и кварца. По объему вкрапленники занимают около 10%. Кроме того, наблюдаются единичные чешуйки биотита и мелкие зерна магнетита и ильменита.

По химическому составу (табл. I, пробы I4, I5, I6) породы близки аляскитам, по Р.Дэли, и описанным лейкократовым гранитам, отличаясь от типичных липаритов повышенным содержанием щелочей и пониженным - известия.

Субвулканические тела и дайки липаритов территории рвут покровы хольчанской, ульинской и ольской свит верхнего мела, а также терригенные породы перми, верхнего триаса, нижнего мела. На левобережье Хивэгчана липариты метаморфизуются гранодиоритами Майдандинского массива [I4]. По-видимому, часть даек и субвулканических тел - это корни покровов ольской свиты, часть из них более молодые; некоторые могут быть одновозрастными с покровами хольчанской свиты.

Палеогеновые субвулканические тела и дайки

Субвулканические тела и дайки базальтов (MgK_2) распространены в междуречье Бургагылкана-Хетанджи, где образуют дугообразную цепочку выходов, обращенную выпуклой стороной к западу и прослеживающуюся на расстояние около 35 км. Дайки ориентированы в северо-восточном направлении, протяженность их до 3 км, мощность около 10 м. Падение контактов близкое вертикальному. Субвулканические тела образуют выходы неправильной формы с раздувами и пережимами. В пережимах ширина их 300-400 м, в раздувах достигает 2-4 км. По геологическим дан-

ным и данным профильной магнитной съемки [8] субвулканическое тело базальтов, расположенное на левобережье руч. Озерного, представляет собой плитообразное тело мощностью 100–160 м, погружающееся в себя в веро-западном направлении под углом 10–15°. Аналогичное строение, судя по очертаниям их границ, имеют и другие субвулканические тела.

Базальты – темно-серые, красновато-коричневые породы, иногда с миндалекаменной текстурой и шаровой отдельностью. Структура – порфировая; основная масса – интерсегментальная. Вкрапленники (размером до 2 мм) представлены лабрадором № 55–58 и моноклинным пироксеном. Основная масса состоит из микролитов (0,05–0,3 мм) плагиоклаза, зерен моноклинного пироксена и бурого вулканического стекла. Рудные минералы – магнетит, ильменит.

Базальты – сравнительно свежие породы, вторичные процессы выражены в частичном замещении плагиоклаза альбитом, а пироксена – циннингитом. По химическому составу (табл. I, пробы I7, I8) они близки базальтам, по Р. Дэли. Они прорывают покровы ольской свиты верхнего мела и по возрасту параллелизуются с покровами условно палеогеновых базальтов сопредельных территорий.

Контактово-метаморфические породы

Проявления контактового метаморфизма наблюдаются в виде ореолов вокруг массивов и штоков интрузивных пород. Ширина зоны контакто-измененных пород зависит от состава вмещающих пород, углов наклона контактов и размеров интрузивных тел. У крупных массивов при круtyх контактах ширина зоны контактowego метаморфизма в терригенных породах не превышает 2 км (Верхне-Челомджинский и Майманджинский массивы), при пологих достигает 3–4 км (юго-восточный экзоконтакт Майманджинского массива).

В вулканогенных образованиях в зависимости от крутизны контактов ширина зоны контактовых изменений колеблется от 0,5–1 до 2 км. В интрузивных породах контактовый метаморфизм выражен на расстояниях не превышающих 100–200 м от контактов более молодых интрузий. Субвулканические тела и дайки не вызывают существенных изменений вмещающих пород: наблюдаются незначительная перекристаллизация, окварцевание и новообразования мелкочешуйчатого серицита, хлорита. Ширина зоны таких измененных пород колеблется от нескольких сантиметров до 10–20 м.

Наиболее интенсивно контактовый метаморфизм проявился в терригенных породах. На правобережье Бургагылкана близ Майманджинского массива непосредственно у контакта наблюдались андалузит-кордиеритовые роговики (ширина зоны 100–200 м), сменяющиеся по мере удаления от интрузива актинолит-биотитовыми (ширина зоны 700–800 м), затем

биотитовыми роговиками (ширина зоны 1,5–2 км). В бассейне Хивэгчана описаны [14] актинолитовые, биотитовые, биотит-кордиеритовые, кварц-биотит-мусковитовые роговики.

Проявления контактового метаморфизма в вулканогенных породах выражены слабее и заключаются в перекристаллизации основной массы, окварцевании и новообразованиях биотита, хлорита, серицита, мусковита, реже кордиерита.

Контактовые изменения в интрузивных породах обычно выражаются в новообразованиях актинолита, tremolита, биотита, которые развиваются по цветным минералам или выполняют трещины. Наиболее сильный контактовый метаморфизм отмечен в дайке габбро раннего поколения (экзоконтакт Майманджинского массива), где помимо биотита, актинолита встречаются новообразования сфена и андалузита.

Гидротермальные образования

На территории встречаются кварцевые жилы, кварцевожильные зоны, минерализованные зоны дробления, зоны кварцевого прожилкования, участки пиритизированных и окварцованных пород. Наиболее широко гидротермальные образования развиты в эфузивах верхнего мела, реже они встречаются в терригенных и интрузивных породах. Наибольшая концентрация кварцевых жил наблюдается на левобережье Хетанджи (среднее течение) и в ее истоках. Простирание жил здесь преимущественно северо-восточное и близширотное. В истоках Хетанджи кварцевые жилы концентрируются в хольчанской свите. Участок концентрации жил ориентирован в северо-восточном направлении, площадь его 5 км². Здесь насчитывается около 30 кварцевых жил [8]. На левобережье Хетанджи кварцевые жилы сосредоточены в районе близмеридионального дизъюнктива и рассекают породы хольчанской, ульянской реже ольской свит. В бассейнах Кутайы, Елганджи, Бутыкана наблюдались лишь отдельные кварцевые жилы северо-западного реже северо-восточного направлений.

В вулканогенных образованиях протяженность кварцевых жил изменяется от десятков до нескольких сотен метров, мощность – от 0,2 до 2–3 м, углы падения контактов крутые: от 60° до вертикальных. Наиболее распространены в жилах массивная и друзовая текстуры кварца, реже встречаются кокардовая, пластинчатая, полосчатая. Помимо кварца в небольших количествах жилы содержат: альбит, мусковит, серицит, хлорит, эпидот, реже амфибол, кальцит, флюорит, гранат, апатит, турмалин, ортит, цоизит. Из рудных минералов установлены: пирит, халькопирит, галенит, сфалерит, магнетит, титаномагнетит, ильменит, молибденит, арсенопирит, пираргирит и золото.

Жильная зона, состоящая из 5-6 жил, расположена среди илгим-бритов хольчанской свиты на левобережье Бургагылкана (район излучины) близ широтного дисьюнктива. Протяженность ее 600-650 м, видимая мощность: на флангах 5-10 м, в центральной части 60-70 м; простирание близширотное, падение крутое, видимо, на юг. Кварц зоны - массивный, друзовый, брекчиявидный с уображенем золота.

Минерализованные зоны дробления в эфузивах верхнего мела тяготеют к разрывным нарушениям широтного, северо-восточного и северо-западного направлений. Мощность зон достигает первых десятков метров, протяженность 1-4 км. Минералогический анализ протолочки штрабной пробы с левобережья Бутыканы показал следующий состав: кварц, лимонит, амфибол, эпидот, циркон, пирит. Иногда зоны в не значительных количествах содержат золото, молибден, цинк.

Зоны кварцевого прожилкования мощностью до 10 м отмечены в бассейне Хетанджи [8], где они характеризуются повышенными содержаниями свинца и цинка.

участки и поля гидротермально измененных пород тяготеют к экзоконтактам интрузивных тел и разрывным нарушениям. Самое крупное поле пиритизированных и окварцованных пород закартировано на левобережье Хетанджи, где его площадь достигает 35 км². Поле вытянуто в меридиональном направлении и приурочено к близмеридиональному сбросу. В лавах и туфах хольчансской и ульинской свит визуально наблюдаются тонкораспыленный пирит, участки вторичного кварца, прожилки карбоната, окристые налеты гидроокислов железа. На отдельных участках породы превращены в кварциты кварц-гидрослюдистой фации и пропилиты [8].

Гидротермально измененные вулканогенные породы характеризуются низкими содержаниями золота и серебра. В пиритизированных и окварцизованных андезитах с левобережья Хетанджи установлены высокие (до 1%) концентрации свинца и цинка.

В гранитоидах Майманджинского массива кварцевые жилы редки и маломощны ($0,2\text{--}0,3$ м). В породах Верхне-Челомджинского массива кварцевые жилы встречаются чаще. В лейкократовых гранитах кварцевые жилы мощностью от $0,1\text{--}0,3$ до $1,5\text{--}2$ м прослеживаются в северо-восточном и северо-западном направлениях на расстояние до $300\text{--}400$ м. Падение жил крутое ($70\text{--}80^\circ$), текстура массивная. Кроме кварца, жилы содержат мусковит, гранат, циркон, ильменит, пирит, магнетит, пиротин, лимонит, редко золото. Кварцевые жилы, секущие гранодиориты, морфологически близки вышеописанным, но отличаются по составу ирудной минерализации. Кроме кварца, в них обнаружены хлорит, кальцит, эпидот, циркон, ильменит, халькоцирцит, молибденит, шеелит. В

верховых Елганджи с этими жилами связаны рудопроявления серебра и висмута.

Жилы, секущие габбро и диориты, имеют северо-восточное, близ-широкотное простирание, мощность 0,1-0,4 м, протяженность от первых сотен метров до 2 км. Текстура жил массивная, симметрично-дру佐-вая; состав: кварц, реже альбит, хлорит, эпидот, амфибол, гранат, циркон, ильменит, рутил, пирит, магнетит, титаномагнетит, галенит, редко золото.

В терригенных отложениях перми, верхнего триаса, нижнего мела кварцевые жилы ориентированы в различных направлениях, тяготеют к разрывным нарушениям, выполняя опериющие трещины отрыва, скола. Протяженность жил не превышает 300–400 м, мощность 0,2–0,5 м, падение крутое. Текстура жил массивная, друзовая, брекчевая, изредка они содержат повышенные концентрации свинца и низкие – золота.

Участки пиритизированных терригенных пород невелики по площади, установлены на левобережье Верхней Хетанджи и на правобережье Бургагылканы. Они приурочены к сбросам северо-восточного направления.

Особое место занимают грейзенизированные терригенные породы нижнего мела, развитые на правобережье Средней. Участок грейзенизированных пород, расположенный в экзоконтакте гранодиоритов Верхнечеломджинского массива, он занимает площадь около 15 км². Контакт гранодиоритов с вмещающими породами здесь пологий (10-20°), погружающийся в северо-западном направлении. Непосредственно у контакта залегают массивные светло-серые породы с чешуйками и пластинками мусковита и редкой вкрапленностью сульфидов. Иногда среди них встречаются сильно измененные горизонтальнослоистые песчаники. По мере удаления от контакта степень окварцевания, мусковитизации пород ослабевает, но увеличивается количество сульфидов, появляются гранат-биотитовые роговики. Грейзенизированные породы состоят из кварца (около 60%), мусковита (около 35%), пирита (до 5%) и единичных зерен циркона. В протолочках штуковых проб в незначительных количествах обнаружены ильменит, молибден, анатаз, рутил, турмалин, галенит, сфalerит. Спектральным анализом установлены узкие содержания серебра и галлия.

Т Е К Т О Н И К А

О положении территории на тектонических картах и схемах Северо-Востока СССР существует два мнения. Н.П. Аникеев, А.П. Васьковский, И.Е. Драбкин, Г.Г. Попов, В.А. Титов выделяют здесь Инский прогиб Охотского массива [3]. В.Ф. Белый, А.А. Николаевский, С.М. Тильман, Н.А. Шило считают, что сюда еще продолжаются структуры Яно-Колымской складчатой системы [2]. Автор придерживается второй точки зрения по этому вопросу. Таким образом, территория данного листа охватывает покровы Охотско-Чукотского вулканогенного пояса, наложенные на структуры Яно-Колымской складчатой системы (Иняйский район полого залегания пород верхоянского комплекса) [2]. В центральной части района находится Эльгенджинская и Челомджинская впадины, принадлежащие Ямо-Тайской системе нестектонических депрессий.

Пермские и верхнетриасовые терригенные осадки мощностью около 4700 м, слагающие Инянский район пологого залегания пород верхоянско-кокшарского комплекса, образуют первый структурный ярус. Второй структурный ярус, отделенный от первого стратиграфическим и, по-видимому, угловым несогласием, сложен нижнемеловой угленосной молассой мощностью до 860 м. Покровы верхнего мела Охотско-Чукотского вулканогенного пояса, имеющие мощность до 2000 м и залегающие с угловым несогласием на породах первого и второго ярусов, представляют третий структурный ярус. Четвертый структурный ярус образован неоген-четвертичными отложениями неотектонических впадин, мощность - до 300 м.

Первый структурный ярус

В первом ярусе выделяются два структурных подъяруса, разделенных стратиграфическим несогласием; они отвечают двум тектоническим этапам геосинклинального развития района [2]. Нижний структурный подъярус сложен пермскими породами, верхний – позднетриасовыми. Эти два подъяруса дислоцированы в едином тектоническом плане и участвуют в строении Индейского района пологих дислокаций, охватывающего на территории бассейны Верхней Хетанджи, Хивэгчана, Бургагылкана, Бутыкана (рис.2). Следует заметить, что в Индейском районе пологое залегания пород верхоянского комплекса, в местах широкого развития дизъюнктивов, встречаются участки складчато-блокового строения. Один из таких участков расположен в пределах описываемой территории.

Наиболее крупное складчатое сооружение здесь синклиналь, фрагменты которой наблюдаются в бассейне Бургагылкана и среднем течении

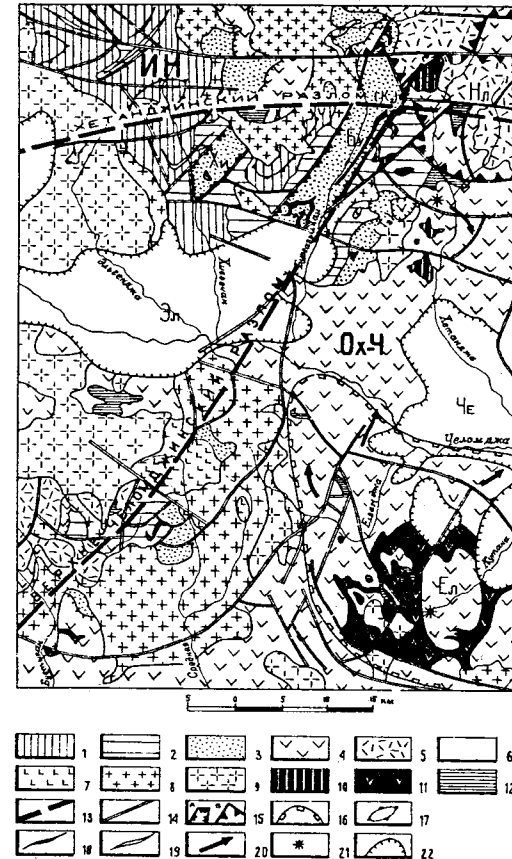


Рис.2. Тектоническая схема

Первый структурный ярус (ИН - Иняйский район пологое залегания пород Верхоянского комплекса): I - нижний подъярус; 2 - верхний подъярус; 3 - второй структурный ярус (Хи - Хивэгчанский грабен, Бу - Бургагыканский грабен). Третий структурный ярус (Ох-Ч - Охотско-Чукотский вулканогенный пояс): 4 - нижний подъярус (Ел - Еландинская вулкано-тектоническая депрессия); 5 - верхний подъярус (Ни - Нелиньякская структура обрушения). 6 - Четвертый структурный ярус (Эл - Эльгендинская впадина, Че - Челомдзинская впадина). Позднемеловые интрузии: 7 - габбро, диоритов; 8 - гранодиоритов, кварцевых диоритов; 9 - лейкократовых гранитов, кварцевых сиенитов. Субвулканические тела: 10 - палеогеновых базальтов; 11 - верхнемеловых андезитов; 12 - верхнемеловых андезитов; 12 - верхнемеловых липаритов; 13 - глубинные разломы и время их заложения; 14 - сбросы, сбросо-слаги, взбросы; 15 - грабены (А) и структурные обрушения (Б); 16 - вулкано-тектонические депрессии; 17 - брахиантклинали; 18 - оси антиклиналей; 19 - оси синклиналей; 20 - направление движения лавовых потоков; 21 - вероятные центры извержения; 22 - границы структурных ярусов.

Хивэгчана. Ее мульда сложена толщей верхнетриасовых пород. Синклиналь часто осложнена дизъюнктивами. Видимая длина ее около 20 км, ширина 10–12 км. В бассейне Бургагылкана они имеют асимметричную форму: углы падения пород на северо-западном крыле складки достигают 60° , на юго-восточном – 20 – 30° . Осложняющие складки, шириной от 100–200 м до 2 км, на левобережье Бургагылкана ориентированы в северо-восточном направлении, углы наклона крыльев 30 – 40° и лишь вблизи дизъюнктивов увеличиваются до 60 – 70° , шариры погружаются в юго-западном направлении. В бассейне Хивэгчана осложняющие, видимо, приразломные складки, широтного, северо-восточного простирания, углы падения крыльев 60° .

Из антиклинальных складок наиболее полно представлена брахиантеклиналь в бассейне руч. Икара, в ядре которой вскрыта толща пермских пород. Она в плане неправильной формы, напоминающей фигуру песочных часов, так что размах крыльев складки изменяется от 4 до 10 км. На крыльях антиклинали углы падения пород изменчивы – от 20° до 60° , ближе к своду они равны 40 – 50° . Осложняющие складки шириной 200–500 м и углами падения крыльев 20 – 50° , не имеют четкой ориентировки и часто срезаны сбросами. Фрагменты близких по строению брахиантеклиналей наблюдаются в междуречье Бургагылкана–Хивэгчана и на правобережье Верхней Хетанджи.

Гораздо более сложные и напряженные складки установлены в междуречье Икара–Верхней Хетанджи. Здесь в блоках, ограниченных дизъюнктивами, развиты симметричные и асимметричные, иногда остроизогнутые складки с углами наклона крыльев от 30 – 50 до 70 – 80° . Ширинамоночные складки с углами наклона крыльев от 50–100 м до 1 км, протяженность наиболее крупных из них изменяется от 8–100 м до 1 км, протяженность наибольших 8–12 км, ориентированы они в северо-восточном и северо-западном направлениях.

Отдельные небольшие участки пород первого структурного яруса наблюдаются в бассейне верхнего течения Бутыкана. Верхнетриасовыми толщами здесь образована небольшая брахисинклиналь округлой формы с углами падения крыльев 30 – 40° . С востока и запада она ограничена сбросами, на севере и юге – выходами интрузивных пород.

Второй структурный ярус

Угленосная моласса второго структурного яруса выполняет орогенные отрицательные структуры, крупнейшей из которых является Бургагылканский грабен.

Бургагылканский грабен шириной около 5 км ориентирован в северо-восточном направлении и приурочен к мульде синклинали, образованной толщами первого структурного яруса. Видимая длина грабена около 20 км, но не исключено, что он продолжается и на правобережье Челом-

джи, где в верховьях Бутыкана закартированы отдельные выходы нижненемеловых пород. На западе грабен ограничен пологопадающим сбросом (падение в сторону грабена), на востоке – крутопадающим. Весьма характерно для грабена широкое развитие суббулканических тел андезитов (в основном это силы), которые в общих чертах подчеркивают синклинальную структуру внутри грабена с пологими (10 – 20°) углами падения крыльев. Лишь вблизи дизъюнктивов углы падения пород увеличиваются до 50 – 60° .

Другой, Хивэгчанский грабен, вмещающий нижненемеловую толщу, расположен в бассейне среднего течения Хивэгчана. Грабен ориентирован в северо-восточном направлении, длина его около 8 км, ширина 3 км. С запада и востока он ограничен крутопадающими сбросами, на севере – выходами гранодиоритов Маймандинского массива. Характер пликативных сооружений здесь не совсем ясен, но углы падения слоев крутые (60 – 70°), азимуты падения изменчивы, что, по-видимому, свидетельствует о развитии мелкой складчатости.

Третий структурный ярус

Вулканические покровы третьего структурного яруса распространены в бассейнах Хетанджи, Елганджи, Кутаны, Бутыкана и занимают площадь около 2000 км². В составе третьего структурного яруса выделяются два подъяруса: нижний, включающий покровы нараулийской, хольчанско-улынской свит, и верхний – покровы ольской свиты.

Такое разделение основано на структурных различиях, для нижнего подъяруса характерно широкое развитие пологозалегающих покровов, осложненных вулкано-тектоническими депрессиями. Игнимбриты верхнего подъяруса слагают четко обособленные отрицательные структуры обрушения.

Вулканогенные породы нижнего структурного подъяруса залегают с небольшими углами наклона (10 – 30°) или горизонтально. Увеличение угла наклона до 40 – 50° наблюдается вблизи разломов.

Наиболее крупная структура нижнего подъяруса Елганджинская вулкано-тектоническая депрессия, охватывающая бассейны Елганджи, Важного, Кутаны. Ориентирована она в северо-западном направлении, длина ее около 50 км при ширине 25 км. Выполнена депрессия хольчанско-улынскими туфами, лавами, игнимбритами кислого состава и улынскими андезитами. По обрамлению развиты более древние покровы нараулийской свиты. В центральной ее части находится лополит андезитов кольцеобразной формы, который подчеркивает синклинальную структуру депрессии. С лополитом сочетается система кольцевых и радиальных разломов. Есть основание предполагать, что здесь имеется эродированный вулканический аппарат центрального типа. В пользу такого пред-

положения свидетельствуют: система кольцевых и радиальных разломов, кольцеобразная форма субвулканического тела андезитов и идентичность их с покровами ульинских андезитов.

Кроме того, к Елганджинской депрессии приурочена аномалия силы тяжести интенсивностью 10–15 мгл и аэромагнитная аномалия интенсивностью 6–8 мЭ (рис.3). В.А.Москалев выделяет здесь блок с глубиной залегания кристаллического фундамента около 1 км [15]. По нашему мнению, гравитационный максимум в данном случае обязан существованию магматического очага под верхнемеловым вулканом. В настоящее время камера очага, по-видимому, заполнена породами среднего – основного состава, которые вполне могут создавать избыточную плотность порядка 0,2 г/см³ по отношению к вмещающим терригенным породам.

Аэромагнитная аномалия имеет два максимума: в верховьях Кутани и в бассейне руч.Важного. Аномалия вызвана повышенной намагниченностью субвулканических андезитов. Магнитная восприимчивость аналогичных субвулканических андезитов в бассейне Бургагылканы изменяется от 1000–1700⁻⁶ до 7400⁻⁶ ед. CGSM [8]. Два магнитных максимума приурочены, вероятно, к вертикальным подводящим каналам.

Другой вероятный центр извержения в пределах нижнего структурного подъяруса находится на правобережье Хетанджи [8] в краевой части покрова кварцевых трахитов. Интерпретация данных измерения вектора намагниченности в ориентированных образцах, отобранных по двум пересекающимся профилям, позволяет, по мнению В.П. Карчавца [13], выделить здесь подводящий субвертикальный канал. В плане он щелевидной формы: длина около 200 м, ширина 50 м.

Игнимбриты верхнего структурного подъяруса залегают в структурах обрушения. Первая из них (Нелинья) расположена в бассейнах Нелинья, Хетанджи и занимает площадь около 200 км². Она ограничена кольцевыми сбросами. Толща игнимбритов, заполняющая ее, под углом 10–20° погружается в северо-восточном направлении. В пределах юго-западной окраины структуры развиты вулканиты хольчанской и ульинской свит, прорванные с субвулканическими телами липаритов. Нелиньянская структура обрушения осложнена радиальными дизъюнктивами, вблизи которых углы падения игнимбритовой толщи увеличиваются до 30°. К этой структуре приурочена отрицательная магнитная аномалия, что объясняется слабым намагничиванием ольских игнимбритов (магнитная восприимчивость их не превышает 6⁻⁶ ед. CGSM).

Фрагменты аналогичной структуры обрушения наблюдаются в верховьях Бутыкана. Здесь, как и в первом случае, расположена отрицательная магнитная аномалия значений ΔTa .

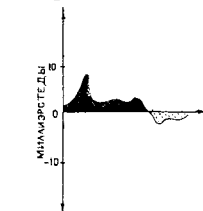
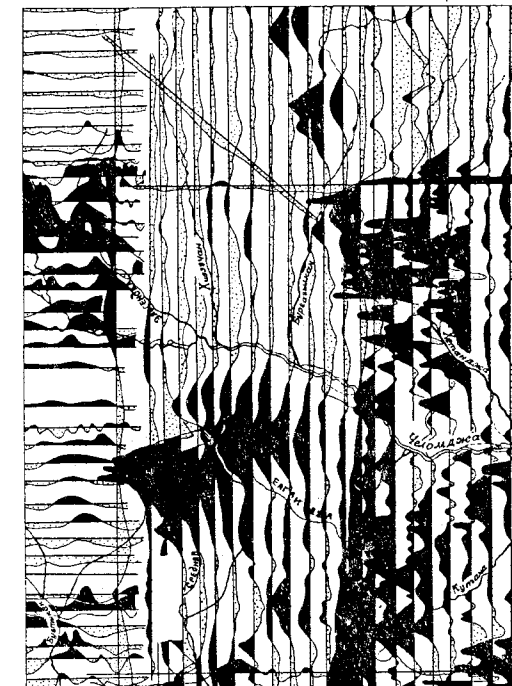


Рис.3. Схема аномального магнитного поля
(графики ΔTa)

Четвертый структурный ярус

Образования четвертого структурного яруса слагают Эльгенджинскую и Челомджинскую неотектонические впадины.

Эльгенджинская впадина охватывает левобережье Челомджи в районе впадения ее левых притоков - рек Эльгенджи, Хивэгчана, Бургагылкана. Впадина ориентирована в широтном направлении. Длина ее около 30 км, ширина 10-12 км. По периферии развиты дизъюнктивы близширотного и субмеридионального направлений. По данным профильной гравиметрической съемки и вертикального электроразведывания (см. рис. I, А) на правобережье Бургагылкана ложе коренных пород неровное, с отдельными выступами и западинами, а мощность рыхлых нижнечетвертичных отложений достигает 200 м. Можно ожидать, что в центральной части впадины ее глубина достигает 500-600 м.

Челомджинская впадина охватывает нижние течения Хетанджи, Еланджи, Кутаны и занимает площадь около 300 км². От Эльгенджинской впадины она отделена полосой низкогорного плосковершинного рельефа, сложенного вулканитами третьего структурного яруса.

Поверхность Челомджинской впадины плоская, террасирована и сложена современными и верхнечетвертичными образованиями. Западная часть заметно приподнята - здесь появляются нижнечетвертичные отложения. По данным профильной гравиметрической съемки (см. рис. I, Б), ложе коренных пород впадины в ее приподнятой части сравнительно ровное с небольшим уклоном к западу. На левобережье Хетанджи поверхность коренных пород резко, под углом 40°, погружается на восток, опускаясь ниже уровня моря. Глубина депрессии соответственно увеличивается от 80-180 до 300 м.

По данным В.А.Москаleva [15], к описанным впадинам приурочены отрицательные аномалии силы тяжести: Верхне-Челомджинская и Хурэнская, которые могут быть объяснены отрицательной избыточной плотностью рыхлых отложений.

На территории выделяется два глубинных разлома. Древнейший глубинный разлом северо-восточного направления (мы называем его Верхне-Челомджинским) прослеживается из верховьев Бутыкана в бассейны Бургагылкана, Хетанджи и далее уходит за пределы рассматриваемой территории. Заложение его произошло, вероятно, в карнийском веке, когда на северо-западном его крыле формировались песчаные осадки мощностью 100-150 м, а на юго-восточном - глинистые отложения мощностью более 500 м. В раннем мелу с ним связано образование межгорного прогиба; в позднем мелу - палеогене широкое развитие в зоне разлома получили интрузии габбро, субвулканические тела андезитов и базальтов.

Верхне-Челомджинский разлом скорее всего представляет собой зону^{x)} шириной 10-15 км, протяженностью 85 км. К зоне приурочен ряд магнитных максимумов, ограниченный на северо-западе четким полем отрицательных значений ΔT_a . Наиболее интенсивная магнитная аномалия (до 23,8 мЭ) расположена в верховьях Средней и пространственно совпадает с интрузией габбро, содержащих до 4-6% титаномагнетита. Магнитная восприимчивость габбро равна $9000-10000^{-6}$ ед. CGSM. Следующая магнитная аномалия интенсивностью 2-5 мЭ расположена в междуречье Хетанджи-Бургагылкана и обусловлена магнитными свойствами различных пород. Здесь развиты кварцевые диориты с магнитной восприимчивостью $3000-5000^{-6}$ ед. CGSM, кварцевые сиениты с магнитной восприимчивостью до 3000^{-6} ед. CGSM, покровы кварцевых трахитов с магнитной восприимчивостью до 4000^{-6} ед. CGSM. В районе излучины Бургагылкана расположена еще одна магнитная аномалия интенсивностью 2-5 мЭ. Пространственно она совпадает с восточным эндоконтактом Майманджинского массива, где магнитными породами являются гранодиориты, обладающие магнитной восприимчивостью в $3000-6800^{-6}$ ед. CGSM. На остальной части массива гранодиориты немагнитны.

Таким образом, проявление магнитных свойств у различных пород в зоне глубинного разлома свидетельствует, по-видимому, о генетической связи с ним магнитных аномалий.

Второй глубинный разлом (мы называем его Хетанджинским) прослеживается в широтном направлении из бассейна верхнего течения Хивэгчана через долину Бургагылкана в верховья Хетанджи и далее уходит за пределы района. Хетанджинский глубинный разлом выражен серией сближенных близширотных сбросов, сбросо-сдвигов, приуроченных к зоне высоких градиентов $\Delta \varphi_a$ (1,5-2 мГл/км). В.А.Москалев [15] проводит здесь границу Яно-Колымской и Охотской аномальных областей, характеризующихся, по его мнению, различной глубиной залегания кристаллического фундамента. Мы придерживаемся точки зрения И.В.Беляева [3], который считает, что региональное гравитационное поле характеризует изменение мощности земной коры. Заложение Хетанджинского глубинного разлома произошло, видимо, в позднем мелу, так как он контролирует размещение Нелиньской структуры обрушения и подобных структур к востоку от рассматриваемой территории.

Весьма широко на территории развиты разрывные нарушения, среди которых выделяются соскладчатые и послескладчатые.

Соскладчатые сбросы, развитые в первом и втором структурных ярусах, видимо, были заложены в конце поздней юры - раннем мелу.

^{x)}На тектонической схеме показаны осевые линии зон глубинных разломов.

Простирание их северо-восточное, реже северо-западное и в общем со-гласуется с ориентировкой складок, протяженность от 2–3 до 20 км. Сбросы с максимальными амплитудами смещения (от 700–1000 до 1500–2000 м) распространены в нижнем подъярусе первого структурного яруса. В отложениях верхнего подъяруса и второго яруса амплитуда смещения резко сокращается от 500–600 до 200–300 м. Плоскости смещения таких сбросов обычно близки вертикальным, редко пологие (30–40°), как, например, у сброса, ограничивающего с запада Бургатыл-канский грабен. Соскладчатые дислокации сопровождаются зонами дробления пород шириной до 60–70 м. Несомненно, позднеюрские-раннеделовые разрывы подновлялись в верхнем мелу и палеогене.

К послескладчатым (верхнемеловым-палеогеновым) дислокациям, отнесена система широтных, колышевых и радиальных разломов, которые смещают вулканогенные образования, позднемеловые интрузивы и ориентированы вкрест простирания складчатых структур. Среди них преобладают крутопадающие сбросы, реже встречаются сдвиги и взбросы.

Крупнейший дислокант этой группы левосторонний сдвиг широтного направления, прослеживающийся из бассейна верхнего течения Хи-вегчана в верховья Хетанджи на расстояние около 55 км. В рельфе он выражен цепочкой седловин, в пределах которых породы интенсивно раздроблены. Видимая амплитуда горизонтального смещения вдоль дислоканта различна: для гранодиоритов Майманджинского массива она равна 2 км, для вулканитов хольчанской свиты 4–5 км. Не исключено, что здесь сказались вертикальные перемещения, однако оценить их амплитуду трудно. Остальные разломы широтного направления относятся к крутопадающим сбросам с амплитудой смещения от 100–200 до 600–700 м, протяженность их от 5–7 до 40 км.

В бассейне верхнего течения Хетанджи наблюдается система колышевых и радиальных крутопадающих, реже пологопадающих сбросов с амплитудой смещения в первые сотни метров. Они приурочены к пересечению Верхне-Челомджинского и Хетанджинского глубинных разломов и, вероятно, возникли в ходе формирования Нелиньской структуры обрушения.

В бассейнах Кутаны, Елганджи система колышевых и радиальных разломов сочетается с вулканическим аппаратом центрального типа. Эти разломы были заложены, очевидно, в ульинское время. Дислокант этой системы, ограничивающий с юго-запада Елганджинскую депрессию относится к пологопадающему сбросу – его плоскость заметно наклонена в северо-восточном направлении, остальные разломы представлены сбросами. Амплитуду смещения по ним оценить трудно, но, вероятно, она не превышает первых сотен метров.

В бассейнах Бутыкана и Средней колышевые и радиальные сбросы повторяют очертания Верхне-Челомджинского интрузива. Максимальная амплитуда смещения (до 400–500 м) по ним наблюдается в верховьях Бутыкана, где на дневную поверхность выведены блоки осадочных пород верхнего триаса и нижнего мела. В основном же амплитуда смещения по ним не превышает 100–200 м. Часто они сопровождаются широкими (до 100 м) зонами дробления.

Неотектонические движения выразились в подновлении отдельных более древних дислокаций широтного направления, о чем свидетельствует образование Эльгенджинской и Челомджинской впадин. Неотектонические движения происходили, вероятно, и вдоль северо-восточного сброса, ограничивающего на западе Бургатылканский грабен. В настоящее время этот сброс разграничивает различные типы рельефа и выражен уступом высотой 200 м. Вероятно, неотектоническим движением обязан своим возникновением уступ в ложе коренных пород Челомджинской впадины, зафиксированный гравиметрической съемкой на левобережье Хетанджи (см.рис. I,Б).

История геологического развития описываемой территории может быть восстановлена с ранней перми, когда в северо-западной части района накапливались преимущественно алевритовые осадки в условиях геосинклинального режима. В начале верхнепермской эпохи, в связи с расширением Охотской суши и приближением береговой линии моря, формировались песчано-галечные морские отложения с растительными остатками. Характерно обилие вулканомиктового материала, образовавшегося при размытии полей андезитов, дацитов, слагавших участки суши.

По данным О.Г.Эпштейна [21], в казанском веке, характеризовавшемся холодным климатом, обломочный вулканомиктовый материал разносился береговыми льдами и освобождался по мере таяния их, что привело к образованию своеобразных "галечных" алевролитов атканской свиты. В конце позднепермской эпохи море отступило за пределы территории и до начала позднего триаса здесь не накапливались осадки. В карнийском веке морское осадконакопление началось в юго-восточной части района; на северо-западе по-прежнему находилась суши, вблизи которой формировались маломощные (100–150 м) песчаные отложения, сменявшиеся по мере удаления от берега глинистыми осадками мощностью более 500 м. В начале норийского века осадконакопление возобновилось на всей территории и продолжалось, видимо, в течение юрского периода.

В конце поздней юры или – начале раннего мела интенсивные складчатые движения привели к замыканию геосинклиналии. Непрерывное воздымание территории в раннем мелу, сопровождавшееся пликативными

и дислокативными дислокациями, привело к формированию горного рельефа и накоплению в межгорных впадинах угленосной молассы.

На протяжении всего позднего мела происходили дислокативные дислокации, сопровождавшиеся интенсивным вулканизмом и внедрением гранитоидов. В палеогене вулканизм затухает и образуются лишь небольшие субвулканические тела базальтов.

В конце неогена – начале антропогена блоковые движения вдоль широтных разломов привели к образованию неотектонических впадин. В течение четвертичного времени происходило частичное подновление древних разрывов и формирование современного рельефа.

ГЕОМОРФОЛОГИЯ

Территория является частью Охотско-Чукотской геоморфологической области, входящей в состав обширной Яно-Чукотской горной страны [3]. Современный рельеф бассейна верхнего течения Челомджи создан различными экзогенными процессами в обстановке новейших тектонических движений.

По генезису выделяются формы рельефа: созданные комплексной денудацией, флювиальные, ледниковые и водно-ледниковые. Рельеф, созданный комплексной денудацией, представлен тремя типами горно-долинных ландшафтов междуречий.

Первый тип, представляющий собой среднегорье и расчлененное низкогорье, характерен для междуречья Бургагылкана-Хивэгчана, бассейнов верхних течений Хетанджи. Бутыкана, Черемуховки (рис.4). Водораздельные гребни здесь узкие, нередко острые, зубчатые, реже широкие, слаженные. Абсолютные высоты вершин изменяются от 900 до 1200 м, достигая в отдельных случаях 1381 м; относительные превышения 500–800 м. Слоны долин довольно крутые ($20\text{--}30^\circ$), примерно на половину покрыты густой растительностью, ближе к водораздельным гребням появляются крупнообломочные осыпи, выходы коренных пород. Речные долины неширокие, имеют У-образный или трапециевидный поперечный профиль. В верховьях руч. Икара в русле наблюдаются выходы коренных пород. В верховьях Хивэгчана, Бутыкана, где развиты ледниковые цирки и карлинги, а абсолютные высоты вершин достигают 1348–1381 м, рельеф по облику приближается к альпинотипному.

Второй тип, представляющий собой слаборасчлененное низкогорье, тяготеет к обрамлению неотектонических впадин, прослеживаясь в широтном направлении по берегам Челомджи. Кроме того, комплекс форм рельефа этого типа ландшафта в виде полосы (ширина 5–6 км) протягивается вдоль р. Бургагылкана до излучины, далее эта полоса поворачивает на восток, в верховья Хетанджи, и уходит за пределы рассматриваемой территории.

Другая аналогичная полоса (ширина 2–5 км) прослеживается вдоль долин Средней и Елганджи. Горно-долинные ландшафты второго типа развиты также на небольшом участке в междуречье Икара-Верхней Хетанджи.

Водораздельные пространства в пределах горно-долинных ландшафтов второго типа сравнительно широкие, слаженные с абсолютными высотами поверхности 600–800 м и относительными превышениями над днищами долин 200–350 м. Долины имеют трапециевидный или корытообразный поперечный профиль, склоны их средней крутизны ($10\text{--}20^\circ$) и покрыты равномерным плащом рыхлых отложений мощностью 2–3 м.

В междуречье Икара-Верхней Хетанджи, по берегам Бургагылкана на водораздельных пространствах этого типа ландшафта сохранились реликты поверхности выравнивания, представленные разрозненными небольшими (до 1,5–2,5 км²) горизонтальными площадками на абсолютных высотах 560–600 и 680–720 м; их относительные превышения над днищами долин соответственно равны 160–200 и 240–300 м. Иногда на площадках встречаются небольшие хорошо окатанные валуны гранитоидов и галька различных пород. По-видимому, это реликты молодой поверхности выравнивания раннеплейстоценового возраста, в отдельных случаях флювиального происхождения. Описанный рельеф благоприятен для формирования россыпей, так как образован в условиях умеренного поднятия.

Горно-долинные ландшафты третьего типа, приближающиеся по облику к холмисто-увалистому рельефу, примыкают непосредственно к неотектоническим впадинам, а также в виде прерывистой полосы прослеживаются вдоль рек Средней и Елганджи. Водораздельные пространства здесь широкие с абсолютными высотами караваеобразных вершин 400–600 м и относительными превышениями над днищами долин 150–200 м. Долины широкие, хорошо разработаны, склоны их пологие ($5\text{--}10^\circ$) заболочены и покрыты рыхлыми отложениями мощностью до 5 м. Коренные выходы пород редки и наблюдаются обычно на водораздельных пространствах в виде останцов причудливой формы. В междуречье Бургагылкана-Хетанджи на склонах и водоразделах нередко наблюдаются отдельные валуны и галька интрузивных, эфузивных и осадочных пород.

К флювиальным формам рельефа относятся речные поймы, пойменные и надпойменные террасы, участки слабо расчлененной аллювиальной равнины в пределах впадин. Поймы и пойменные террасы высотой 1–2 м наблюдаются во всех долинах наиболее крупных водотоков. Ширина поймы в пределах горно-долинных ландшафтов изменяется от 100–200 м до 1–2 км в зависимости от величины водотока. В пределах неотектонических впадин пойма нередко заболочена (долины рек Важного, Кутаны, Эльганджи), а ширина ее возрастает до 5–10 км. Пойменные террасы

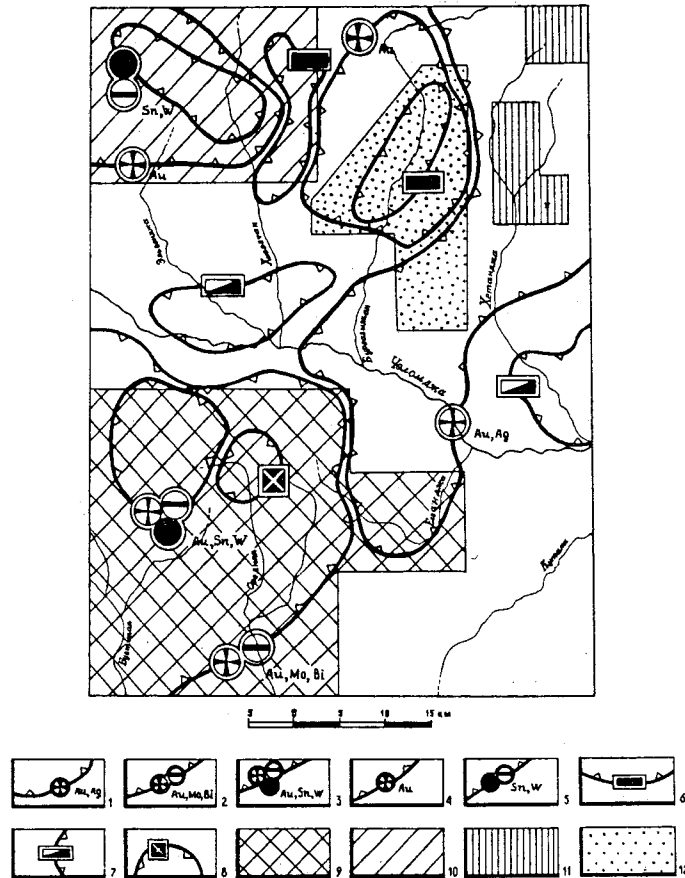


Рис. 4. Геоморфологическая схема

Горно-долинные ландшафты междууречий, созданные комплексной денудацией: I - первого типа (абсолютные высоты вершин 900–1200 м, относительные превышения 500–800 м, углы склонов долин 20–30°); 2 – второго типа (абсолютные высоты вершин 600–800 м, относительные превышения 200–350 м, углы склонов долин 10–20°); 3 – третьего типа (абсолютные высоты вершин 400–600 м, относительные превышения 150–200 м, углы склонов долин 5–10°); 4 – реликты молодой поверхности выравнивания (придолинные ступени). Флювиальные формы рельефа: 5 – реликты нижнеплейстоценовой аккумулятивной равнины (в том числе смешанные террасы 150–160 м); 6 – III надпойменная терраса (верхний плеистоцен, каргинский межстадиал); 7 – II надпойменная терраса (верхний плеистоцен, каргинский межстадиал); 8 – I надпойменная терраса эпохи верхнеплейстоценового оледенения (сартанская стадия); 9 – голоценовые поймы и пойменные террасы, ледниковые и водно-ледниковые формы рельефа; 10 – кары; II – участки равнинного рельефа основной морены

имеют горизонтальную поверхность, иногда с промоинами, четкие бровки и обрывистые уступы. Возраст пойм и пойменных террас – голоценовый.

I надпойменная терраса развита в долинах Хивэгчана, Бургагылкана, Хетанджи, Челомджи, Бутыкана, Средней, Кутаны и др. Высота ее изменяется от 4–6 м в низовьях рек до 3 м в верховьях. Ширина террасы в пределах горно-долинных ландшафтов от 200–400 м до 1 км, а в районе Челомдинской впадины – достигает 5–6 км (приусьевая часть р.Хетанджи). Терраса в большинстве случаев аккумулятивная. На правобережье Челомджи (против устья Хивэгчана) и в приусьевой части руч.Важного терраса эрозионно-аккумулятивная, высота цоколя 1–2 м. В долине руч.Восточного I надпойменная терраса эрозионная. Поверхность террасы горизонтальная или слегка наклонена в сторону русла, бровка и тыловой шов четкие, уступ кругой (от 40–45° до вертикального). В долинах Валного, Кутаны (Челомдинская неотектоническая впадина) терраса сложена торфяниками и имеет бугристый микрорельеф. Небольшие западины здесь часто заняты озерами, видимо, термокарстового происхождения.

Как форма рельефа I надпойменная терраса сформирована в сартанскую стадию позднеплейстоценового оледенения и в пределах горно-долинных ландшафтов сложена аллювием этого же возраста. В приусьевой части р.Хетанджи, в районе неотектонической впадины, I надпойменная терраса сложена частично нижнеплейстоценовым аллювием, что свидетельствует о поднятии этого участка в позднем плеистоцене.

II надпойменная терраса высотой 8–13 м наиболее широко развита в неотектонических впадинах (долины Челомджи, Хетанджи), где ширина ее достигает 3–4 км. В пределах горно-долинных ландшафтов она встречена в виде фрагментов шириной 200–500 м по долинам Хивэгчана, Бургагылкана, Хетанджи, Бутыкана, Средней и др. В большинстве случаев терраса аккумулятивная, в долине Бутыкана – эрозионно-аккуму-

сартанского возраста; 12 – флювиогляциальные террасы сартанского возраста. 13 – выходы коренных пород в русле; 14 – разломы, выраженные в рельфе уступами (А – на дневной поверхности, Б – под толщей четвертичных отложений); 15 – контуры предполагаемых древних (нижнеплейстоценовых) долин; 16 – мощность рыхлых отложений (в м) по данным гравиметрической съемки 8; 17 – наледные поляны

лятивная, в долине руч. Восточного – эрозионная. Поверхность террасы залесена, местами заболочена и имеет небольшой уклон в сторону русла. На левобережье Хетанджи, в пределах Челомджинской впадины, терраса сложена торфяниками и имеет бугристый микрорельеф. Бровка и уступ террасы четкие лишь на участках современной боковой эрозии, в остальных случаях они деформированы дельтаально-солифлюкционными процессами. II надпойменная терраса сформирована в конце межстадиала позднеплейстоценового оледенения.

Наилучшую сохранность III надпойменная терраса высотой 25–30 м имеет в среднем течении Хетанджи (ширина около 500 м) и в краевой части Челомджинской впадины (ширина около 800 м). Терраса аккумулятивная, бровка и уступ четкие, поверхность неровная с заметным уклоном ($5\text{--}10^{\circ}$) в сторону русла. Время формирования ее – каргинское потепление позднеплейстоценовой эпохи оледенения.

Террасы высотой 150–160 м развиты в окраинных частях неотектонических впадин (левобережье Эльгенджи, правобережье Хетанджи, приступьевая часть Елганджи). Поверхность их заболочена и имеет заметный уклон (до 10°) к центру впадин. В этом же направлении погружается и цоколь. Бровка и уступы почти не выражены. Наиболее вероятный возраст их – ранний плейстоцен.

Участок слабо расчлененной аллювиальной равнины расположен в восточной части Эльгенджинской впадины и сложен мощной толщей (до 200 м) нижнеплейстоценового аллювия эпохи оледенения. Поверхность здесь слабо расчлененная – углы склонов не превышают $5\text{--}7^{\circ}$, максимальная абсолютная высота 526 м, относительные превышения 150–180 м. Склоны и водоразделы обычно залесены или заболочены, лишь в отдельных промоинах и бортах долин обнажаются галечники.

Ледниковые формы рельефа, представленные цирками и моренами сартанской стадии позднеплейстоценового оледенения, распространены в верховых Хивэгчана и на водоразделе Челомджи–Бутыкана. Ледниковые цирки наблюдаются на абсолютных высотах 1100–1300 м. Диаметр их достигает 1–1,5 км, глубина равна 200–250 м. Цирки обладают крутыми скалистыми стенками и четко выраженным порогом. Днища цирков широкие, плоские, часто с небольшими озерами.

Морены обладают холмисто-западинным микрорельефом в центральных частях, а заканчиваются конечными валами. Начинаются морены в долинах водотоков, в истоках которых расположены цирки. Узкие (100–150 м) в верхних частях языкообразные тела морен постепенно расширяются до 0,5–1 км, иногда сливаясь с соседними и спускаются до высоты 600–700 м. Высота конечных моренных валов достигает 10–15 м при длине 200–300 м и ширине 20–30 м.

Водно-ледниковые отложения слагают аккумулятивную террасу в верховых Хивэгчана. Поверхность ее ровная, слегка наклонена в сторону русла. Бровка четкая, высота 6 м.

Криогенные формы рельефа, представленные наледными полянами, редки и встречены в долинах Верхней Хетанджи, Хетанджи, Паруса. Наиболее крупные из них занимают площадь до $1,5 \text{ км}^2$. Наледные поляны представляют собой плоские ровные участки поймы долин, лишенные растительности и сложенные валунно-галечным материалом.

На территории установлен ряд древних долин. Одна из них – древняя долина р. Бургагылкана подчеркивается полосой горно-долинных ландшафтов второго типа (рис. 4), в пределах которой развита поверхности выравнивания флювиального происхождения. В междуречье Бургагылкана–Озерного установлен нижнеплейстоценовый аллювий, выполняющий небольшую седловину, которая возвышается над современным руслом Бургагылкана на 140–150 м. Наиболее вероятный возраст этой древней долины – ранний плейстоцен.

Вторая древняя долина, выделяемая по аналогии с вышеописанной, подчеркивается полосой горно-долинных ландшафтов второго и третьего типов, прослеживающихся вдоль рек Средней и Елганджи. Возраст этой долины, по-видимому, тоже раннеплейстоценовый. Долина Челомджи в раннечетвертичное время, вероятно, проходила через низовья Елганджи и Кутаны – здесь развиты горно-долинные ландшафты второго и третьего типов, местами сохранился нижнеплейстоценовый аллювий, а также находится аномально широкая долина руч. Важного.

Литологические особенности дочетвертичных пород существенно не влияют на характер современного рельефа, но геологические структуры в отдельных случаях находят в нем отражение. В виде уступов высотой до 200 м выражены, например, разломы на правобережье Бургагылкана и в верховых Хетанджи. Они разделяют среднегорье и низкогорье. К окраинам неотектонических впадин приурочена система широтных и близмеридиональных дисъюнктивов. Отдельные притоки Хетанджи, Хивэгчана выработали свои долины вдоль тектонических нарушений. Полоса слабо расчлененного низкогорного рельефа на отрезке долины Бургагылкана совпадает с нижнемеловым грабеном.

Начало континентального периода в районе приходится на ранний мел. В неогеновом периоде территория представляла собой, вероятно, пленепенизированную полого-холмистую равнину [3]. По-видимому, в плиоцене произошло заложение Эльгенджинской и Челомджинской впадины. Их контуры определялись системой обновившихся более древних дисъюнктивов. В связи с понижением базиса эрозии оживилась эрозионная деятельность водотоков на участках, прилегающих к впадинам, чем было положено начало формированию гор.

В эпоху раннеплейстоценового оледенения в погружение были вовлечены новые участки (бассейны Эльгенджи, Близкого, Важного, Кутаны), что привело к образованию единой впадины. В результате заполнения впадина к концу раннего плейстоцена представляла обширную аллювиальную равнину с мощной (до 200–500 м) толщей рыхлых отложений Ширина равнины на отдельных участках достигала 20–30 км, протяженность 60 км. В это же время определились направления основных водотоков и продолжали формироваться горы.

В начале среднечетвертичного времени, по-видимому, произошло обособление Эльгенджинской и Челомджинской впадин и началось расчленение раннеплейстоценовой равнины в связи с поднятием отдельных ее участков. В конце среднечетвертичного – начале позднечетвертичного времени в поднятие были вовлечены, видимо, новые участки впадин, в частности правобережье нижнего течения Хетанджи. В это же время, вероятно, в связи с неравномерным поднятием территории происходило перераспределение гидросети. Река Верхняя Хетанджа перехватила верховья Таса – левого притока Ини. Несколько сместилась к северу и приобрела современное положение долина Бургагылканы. Положение, близкое современному, приобрели реки Елганджа и Средняя.

Во второй половине позднечетвертичного времени началось похолодание, приведшее к образованию небольших ледниковых в пределах Майдандинского и Верхне-Челомдзинского массивов. К этому времени относится формирование I, II и III надпойменных террас в долинах водотоков. В голоцене формировались поймы и пойменные террасы.

ПОЛЕЗНЫЕ ИСКОПАЕМЫЕ

Металлогенические особенности территории определяются ее положением в Охотско-Чукотской золотоносной субпровинции [7], охватывающей структуры одноименного вулканогенного пояса и широко развитые в его пределах интрузивные образования. Для Охотско-Чукотского пояса характерны как "плутогенные", так и "вулканогенные" места рождения и проявления полезных ископаемых [7]. С интрузивными образованиями в районе пространственно и, по-видимому, генетически ассоциируют месторождения и проявления золота, молибдена, свинца, цинка, реже вольфрама, олова. В ассоциации с покровами эфузивов и субвулканическими телами установлены золото, серебро, свинец, цинк, олово. Ведущая роль в Охотско-Чукотской золотоносной субпровинции принадлежит золото-серебряным месторождениям эпимерального типа.

В описываемом районе месторождения полезных ископаемых пока не открыты. Проявления золота, серебра, цветных и редких металлов

здесь локализуются в зонах Верхне-Челомджинского и Хетанджинского глубинных разломов, наиболее активно проявившихся в позднем мелу - палеогене. Можно полагать, что и оруденение в основном имеет такой же возрастной диапазон. С нижнемеловыми орогенными структурами района связаны проявления каменного угля.

Горячие ископаемые

Каменный уголь

Проявление каменного угля установлено в верховых Хивзгчана. Здесь на правом берегу реки обнажаются нижнемеловые углисто-глинистые сланцы, переслаивающиеся с песчаниками и содержащие тонкие (до 10 см) прослой каменного угля (1-2-3). Изучение качественной характеристики и химического состава углей не проводилось, но можно предполагать, что они аналогичны углям Чаломджинского месторождения, расположенного севернее описываемой территории, в бассейне Широкой. Угли этого месторождения некоксующиеся, энергетические, озерно-болотного происхождения. Они относятся к клареновым с кисловитрепновой основной массой, теплотворная способность их 7539-8338 кал [19].

[15]. Из других горючих ископаемых следует отметить торфяники, слагающие I и частично II надпойменные террасы в долинах Хетанджи, Куттани, Важнного. Торфяники распространены на площади около 100 км² при мощности от 3-4 до 6 м. В уступах террас торфяники обнаруживают слоистую текстуру и часто загрязнены минеральными частицами. Изучение качественной характеристики и определение запасов торфа не проводились.

МЕТАЛЛИЧЕСКИЕ ИСКОПАЕМЫЕ

Цветные металлы

Свинец, цинк

Рудопроявления свинца установлены в верховых руч. Икара (западный экзо- и эндоконтакт Майманджинского гранитоидного массива) и междуречье Нелинья-Хетанджи (среди вулканических покровов позднего мела). Основным минералом, содержащим свинец, является галенит, образующий кубические зерна размером до 1-2 мм.

образующий кубические зерна размером до 1-2 см.

В верховых руч. Икара галенит обнаружен в кварцевой жиле (I-2-2), секущей верхнепермские песчаники, и в пегматитовой жиле (I-2-1), секущей кварцевые диориты Майманджинского массива. Кварцевая жила северо-восточного простирания, протяженность ее несколько де-

сятков метров, мощность 0,2 м; она содержит более 1%^{x)} свинца, 0,01% меди, 0,001% вольфрама. В пегматитовой жиле мощностью 0,1 м содержание свинца - 0,5%.

В междууречье Нелинга-Хетанджи галенит содержит окварцованные и сульфидизированные андезиты ульинской свиты близ контакта с субвулканическим телом липаритов (I-4-I0). Оруденение прослежено двумя канавами на расстояние 200 м, ширина полосы галенита содержащих пород около 1 м [8]. Содержание свинца здесь достигает более 1%, цинка - 1%, серебра - 30-50 г/т. Кроме того, свинец в количестве 0,5-1% встречается в кварцевых жилах совместно с золотом (I-4-I4; I6).

Проявления цинка установлены в верховых Бутыканы, в экзоконтакте Верхне-Челомджинского гранитоидного массива. Первое из них (Ш-I-4) связано с окварцованными и пиритизированными андезитами ульинской свиты, содержащими сфалерит в виде мелких (до 0,5 мм) зерен неправильной формы. Кроме цинка (1%), здесь обнаружен марганец (1%), медь (0,01%) и ванадий (0,02%). Параметры оруденения не установлены.

Другое проявление цинка (IУ-I-1) связано с кварцевой жилой, секущей игнимбриты ольинской свиты и содержащей вкрапленность сфалерита, арсенопирита. Содержание цинка здесь достигает более 1%, мышьяка - 0,1%, вольфрама - 0,03%, молибдена - 0,01%. Судя по величине обломков кварца в делювии, мощность жилы не менее 0,2 м, простижение и длину установить не удалось.

Олово

Коренных проявлений олова на территории не обнаружено, если не считать одного золотого рудопроявления, где содержание олова равно 0,001% (Ш-I-2). В аллювии таких рек, как Челомджа, Бургаглыкан, Хивэгчан, Верхняя Хетанджа, Бутыкан и др., в виде единичных зерен довольно часто встречается кассiterит. Шлиховые пробы с весовыми содержаниями кассiterита группируются на двух участках: в бассейне руч. Икара и междууречье Челомджа-Бутыканы, образуя четкие ореолы рассеяния.

Первый ореол рассеяния кассiterита (I-I-4), расположенный в бассейне руч. Икара, занимает площадь около 40 км² и приурочен к штоку лейкократовых гранитов. Ореол рассеяния в междууречье Челомджа-Бутыканы (Ш-I-1) пространственно также совпадает с выходом лейкократовых гранитов, но площадь его больше - около 220 км².

x) Здесь и далее спектральный анализ.

Кассiterит обычно встречается в виде мелких (0,5-0,6 мм) угловатых зерен неправильной формы, реже наблюдаются более крупные (до 2-4 мм) хорошо ограниченные кристаллы. Окраска самая разнообразная: красная, бурая, черная, темно-бурая; встречается бесцветный кассiterит. Содержания кассiterита достигают 15-40 г/м³ в 10% проб. Наиболее часто кассiterит ассоциирует в шлихах с вольфрамитом и шеелитом, а в междууречье Челомджа-Бутыканы - и с золотом.

Редкие металлы и рассеянные элементы

Молибден

Рудопроявления молибдена встречены в бассейне Бутыканы, в верховых руч. Восточного и связанны с кварцевыми жилами, прожилками, содержащими вкрапленность молибденита и халькопирита.

Максимальное содержание молибдена (1%) установлено в кварцевом прожилке мощностью 5 см (Ш-I-5), секущем окварцованные и пиритизированные андезиты ульинской свиты. В кварцевой жиле мощностью 0,5 м и протяженностью около 800 м, секущей ороговикованные андезиты, содержание молибдена 0,05% (IУ-I-2). В верховых руч. Восточного в кварцевой жиле (IУ-2-I), секущей гранодиориты Верхне-Челомджинского массива, помимо молибдена (0,05%), обнаружен марганец (1%), медь (0,3%) и ванадий (0,01%). Мощность жилы 0,2 м, протяженность несколько десятков метров.

Висмут

Проявление висмута (Ш-2-3) установлено в верховых Елганджи в кварцевой жиле, секущей гранодиориты Верхне-Челомджинского массива. Мощность жилы около 0,5 м, протяженность, видимо, несколько десятков метров. Кварц массивный с охристыми налетами, иногда брекчийевой текстурой и с вкрапленностью пирита. Штуфным опробованием здесь обнаружен висмут (1%), молибден (0,3%), вольфрам (0,05%).

Вольфрам

Коренных проявлений вольфрама, помимо вышеотмеченных небольших концентраций в проявлениях свинца, цинка, висмута, на территории не выявлено. В аллювии рек вольфрамовые минералы (вольфрамит, шеелит)нередко ассоциируют с кассiterитом, а также образуют два самостоятельных ореола рассеяния: в бассейне Верхней Хетанджи и верховых руч. Колчана.

Первый ореол рассеяния вольфрама (I-I-1) приурочен к экзоконтакту лейкократовых гранитов, размещается среди пермских осадочных

пород и занимает площадь около 25 км². В отдельных шлиховых пробах шеелит здесь составляет 25–40% шлиха. Второй ореол рассеяния (П-2-1) площадью около 10 км² расположен в пределах штока кварцевых диоритов. Содержание шеелита здесь меньше и не превышает 5% шлиха.

Кроме того, в ореолах рассеяния олова (I-I-4; III-I-1) отдельные пробы содержат вольфрамит в количестве 2,5–5 г/м³ (бассейн руч. Икара, правобережье Челомджи).

Шеелит встречается в виде молочно-белых окатанных и полуокатанных зерен размером от 0,1–0,2 до 2 мм. Вольфрамит наблюдается в виде таблитчатых и призматических кристаллов со сложенными углами. Цвет – черный, коричнево-бурый, размер 1–2 мм.

В бассейнах Средней Елганджи установлен также галлий, который содержит грейзенизированные породы, пегматитовая жила, и ванадий, проявления которого связаны с пиритизированными андезитами, редко с кварцевыми жилами. Содержания галлия не превышают 0,03%, ванадия 0,3%.

Благородные металлы

Золото

Коренные и россыпные проявления золота в районе локализуются в пределах двух золотоносных зон: Верхне-Челомджинской и Хетанджинской. Верхне-Челомджинская зона прослеживается в северо-восточном направлении из верховьев Бутыкана в бассейн Хетанджи на расстояние около 80 км при ширине 20–30 км. Пространственно она совпадает с Верхне-Челомджинским глубинным разломом такого же направления. Хетанджинская зона имеет широтное направление и охватывает бассейны Верхней Хетанджи, Хивэгчана, Бургагылкана, Хетанджи. В районе р.Хетанджи она пересекает Верхне-Челомджинскую золотоносную зону. Ширина Хетанджинской зоны около 20 км, протяженность около 60 км. Пространственно она совпадает с Хетанджинским глубинным разломом такого же направления.

Большинство коренных проявлений золота (28 из 36) локализуется среди позднемеловых вулканогенных образований, гораздо реже золотосодержащие тела размещаются в интрузивах и терригенных породах пермского и триасового возраста. В границах листа карты золото содержит кварцевые жилы, минерализованные зоны дробления и зоны кварцевого прожилкования, метасоматически окварцованные вулканогенные, субвуликанические породы, дайки. Золотоносные кварцевые жилы наиболее часто встречаются в покровах хольчансской, ульянской, реже ольской свит. Метасоматическое окварцевание в большей степени характерно для пород хольчанской свиты и субвуликанических тел липаритов. По ведущим металлам рудопроявления относятся к золото-серебряному типу.

Подавляющее большинство (21 из 28) золотосодержащих тел сконцентрировано в районе пересечения Верхне-Челомджинского и Хетанджинского глубинных разломов (бассейн верхнего течения Хетанджи). Размещение золоторудных проявлений здесь контролируется сбросами близмеридионального и северо-восточного направлений, вдоль которых вмещающие породы пиритизированы, местами пропилитизированы и окварцовываны (вылить до вторичных кварцитов кварц-гидрослюдистой фации).

Золотосодержащие кварцевые жилы (I-4-2; 9, 14, 15, 16, 17; II-4-2; IIU-I-3) ориентированы в близширотном, северо-восточном и близмеридиональном направлениях. Мощность их изменяется от 0,2–0,4 до 1,5–3 м, протяженность – от нескольких десятков метров до 800 м [8]. Наиболее мощные и протяженные из них расположены в истоках Хетанджи, где жилы секут игнimbриты хольчанской свиты. Слагающий жилы кварц – серый, молочно-белый, иногда халцедоновидный, совместно с ним встречается розоватый адуляр. Текстура кварца – массивная, друзовидная, брекчевая, реже полосчатая, кокардовая. Изредка наблюдается пылевидная вкрапленность пирита, галенита, сфalerита, арсено-пириита и сульфосолей серебра [8]. По данным спектрального анализа, жилы содержат золото (0,1–0,5 г/т), серебро (10–100 г/т), иногда – более 1% свинца, цинка. В одном случае (I-4-9) штуфная проба, отобранный из обломков кварцевой жилы в деловии, показала содержание золота 3 г/т, серебра – 1000 г/т [8].

Золото отмечено в виде мелких (менее 1 мм) зерен, которые иногда обнаруживаются в протолючках штуфных проб (I-4-16). Сульфосоли серебра наблюдаются визуально в штуфах (I-4-9).

Кварцево-жильная зона (I-3-3) широтного простирания находится на левобережье Бургагылкана, в районе излучины, и приурочена к сдвигу такого же направления.

Протяженность ее около 600 м, мощность до 60–70 м. Здесь насчитывается около шести жил мощностью 3–5 м. Содержание золота в отдельных штуфных пробах, отобранных из брекчевидного кварца жил, достигает 0,5 г/т.

Золотосодержащие зоны дробления и зоны кварцевого прожилкования (I-4-4; 6, 7; II-4-I-5; I-3-5) тяготеют к дисъюнктивам близмеридионального широтного направлений и расположены в бассейне Хетанджи. Мощность их изменяется от 0,3–0,5 до 5–10 м, а протяженность – от нескольких десятков до сотен метров. Содержание золота в них обычно равно 0,1–0,3 г/т, серебра – до 10 г/т. Исключение представляет зона кварцевого прожилкования (I-4-3), вскрытая канавой в истоках Хетанджи, среди игнimbритов хольчанской свиты. Зона приурочена к сбросу близмеридионального направления и содержит до 3 г/т золота, 50 г/т серебра, 0,03% сурьмы. Мощность зоны 2 м, по простиранию она не прослежена.

Участки золотосодержащих гидротермально измененных пород установлены в междуречье Нелиння-Хетанджи (I-4-6, 8, II, I2, I3; II-4-4) и верховьях Хивэгчана (I-2-5). Первый из них ориентирован в близмеридиональном направлении и приурочен к сбросу такого же направления, площадь его около 35 км^2 . Андезиты ульинской и игнимбриты хольчанской свит притизированы, местами прошлифованы и окварцовены. Золото в количестве 0,1-0,3 г/т обычно встречается в окварцованных эффузивах или вторичных кварцитах кварц-гидрослюдистой фации, залегающих в экзоконтактах субвуликанических тел липаритов, реже оно связано с пиритизированными породами. В одном случае (I-4-I2) содержание золота во вторичных кварцитах составило 1 г/т, серебра - 50 г/т.

Второй участок окваркованных золотосодержащих липаритов приурочен к субвуликаническому телу в верховьях Хивэгчана; площадь его около 1 км^2 , содержание золота в отдельных пробах до 0,2 г/т.

В приустьевой части руч. Нелиння золото обнаружено в окваркованной дайке липарита (I-4-I8), секущей игнимбриты хольчанской свиты. Мощность дайки около 5 м, протяженность 150 м, содержание золота в отдельных штуках - 1 г/т.

Золотоносными являются отдельные кварцевые жилы (I-2-6, 7; II-3-2) в бассейне Хивэгчана и зона пиритизации (I-I-2) в бассейне Верхней Хетанджи, находящиеся в осадочных породах пермского и триасового возраста. Кварцевые жилы мощностью 0,2-0,3 м прослеживаются в северо-восточном направлении на несколько десятков метров. Они сложены массивным белым кварцем, иногда брекчиевой текстурой. Содержание золота 0,1-0,2 г/т, серебра до 10 г/т. Зона пиритизации мощностью около 20 м приурочена к сбросу северо-западного простирания. Пермские породы в зоне разлома интенсивно раздроблены и импрегнированы пиритом. Содержание золота достигает 0,3 г/т.

В небольших концентрациях золото обнаружено также в кварцевых жилах, секущих гранодиориты, кварцевые диориты, лейкократовые граниты, габбро (I-I-6; I-3-1; II-3-1; III-2-2, I) в бассейнах Верхней Хетанджи, Средней, Близкого. Кварцевые жилы тяготеют к разрывным нарушениям и ориентированы в различных направлениях. Мощность жил 0,2-0,4 м, протяженность не превышает первых сотен метров. Кварц жил, секущих гранодиориты, кварцевые диориты и лейкократовые граниты, массивный, белый с содержанием золота 0,1-0,3 г/т. Кварц жилы, секущий габбро, серый, друзовидный с кубическими кристаллами пирита. Содержание золота 0,5 г/т, серебра - 50 г/т, ванадия - 0,01%.

Кроме отмеченных рудопроявлений золота, металлометрическим опробованием выявлены вторичные ореолы рассеяния золота, которые в виде прерывистой цепочки прослеживаются в широтном направлении из бас-

сейна Верхней Хетанджи в верховья Хетанджи. Совместно с отдельными рудопроявлениями ореолы рассеяния образуют Хетанджинскую золотоносную зону, где рудоконкролирующими являются широтные дисъюнктивы.

В бассейне Верхней Хетанджи ореолы рассеяния золота (I-I-3,5), площадью около 10 км^2 каждый, размещаются среди лейкократовых гранитов. В пределах ореолов широко развиты кварцевые жилы и дайки различного состава. Содержание золота 0,1-0,2 г/т, ртуть - до 0,002%, галлий - 0,01%. Из коренных источников выявлены золотоносные кварцевые жилы (I-I-6).

В бассейне Бургагылана наиболее интересный ореол рассеяния золота (I-3-4) приурочен к дайке андезитов, секущей терригенные породы нижнего мела. Здесь пять металлометрических проб показали содержание золота от 0,01 до 5 г/т. Коренных источников не обнаружено. Другой ореол рассеяния (I-3-6) площадью около 60 км^2 охватывает субвуликаническое тело андезитов, частично шток кварцевых диоритов, секущих нижнемеловые отложения. Содержания золота в эловии 0,01-1 г/т, ртуть 0,001-0,002%. Коренные источники представлены золотоносными кварцевыми жилами среди кварцевых диоритов и верхнетриасовых отложений (II-3-I, 2).

Наиболее крупный ореол рассеяния золота (I-4-I) расположен в бассейне верхнего течения Хетанджи и совпадает с полем метасоматических измененных игнимбритов дацитового состава, андезитов, где сконцентрировано подавляющее большинство коренных проявлений золота. Ориентирован ореол в близмеридиональном направлении, ширина его около 4 км, длина 25 км. Содержание золота изменяется от 0,01-0,3 до 1-2 г/т, кроме того, встречается ртуть (до 0,002%), серебро (до 10 г/т), ванадий (0,05%), галлий (0,01%). Максимальные содержания золота приурочены к экзоконтактам субвуликанических тел липаритов в южной части ореола. В северной части ореола заметно увеличивается число проб с ртутью.

Россыпные проявления золота в аллювиальных отложениях водотоков образуют обширный ореол рассеяния (III-3-I), охватывающий бассейны Хетанджи, Бургагылана, Хивэгчана, Елганджи, Средней, междуречье Бутыкана-Челомджа, где сосредоточены коренные проявления золота. Длина ореола около 80 км, ширина 20-30 км. Ориентирован он в северо-восточном направлении и в общих чертах оконтуривает Верхне-Челомджинскую золотоносную зону.

Золото наблюдается в виде пластинок, чешуек, табличек, реже встречаются крупники и дендритовидные зерна. Края иногда изрезанные, но заметно стяжены. Цвет обычно ярко-желтый с красноватым оттенком, реже с зеленоватым (реки Хивэгчан, Парус). В бассейне Бутыкана золото иногда покрыто красно-буровой пленкой гидроокислов же-

леза. Преобладающий размер золотин 0,3–0,6 мм, максимальный 1,5–2 мм. В шлихах обычно наблюдается от 1–2 до 10–15 зерен. Весовые содержания золота (до 0,4 г/м³) установлены в долинах Правой Средней и Елганджи, где коренные источники не обнаружены, а по геоморфологическим данным предполагается древняя (нижнеплейстоценовая) долина. Пробность золота в бассейне верхнего течения Хетанджи равна 812.

Таким образом, на территории имеются малочисленные и разрозненные коренные проявления золота мезотермального типа и более широко распространенные – эпимермального типа. Первые локализуются среди пород первого структурного яруса и в интрузивных образованиях. Для них характерны небольшие размеры оруденения и низкие содержания золота. Эпимермальные проявления концентрируются в покровах хольчанской, улынской, реже ольской свит, в районе пересечения двух глубинных разломов. Золотосодержащие тела нередко имеют значительные размеры и характеризуются более высокими содержаниями золота.

Серебро

Кроме того, что серебро отмечено в описанных золотоносных телах, небольшое его проявление установлено в верховых Елганджи (Ш-2-2). Здесь, среди глыб гранодиоритов, встречены отдельные обломки кварца с вкрапленностью халькопирита и налетами малахита. Визуально серебряных минералов не наблюдалось. Спектральный анализ штуковой пробы показал содержание серебра – 100 г/т, меди – 1%, молибдена – 0,05%.

СТРОИТЕЛЬНЫЕ МАТЕРИАЛЫ

Гранитоиды большинства интрузивных тел могут использоваться для приготовления щебня и бутового камня.

Наилучшим качеством строительного камня на территории обладают мелкозернистые лейкократовые граниты, развитые в пределах Верхне-Челомджинского массива (правобережье Челомджи, левобережье Верхней Хетанджи) на площади около 50 км². Они характеризуются благоприятным минеральным составом, отличающимся высоким содержанием кварца и незначительным количеством слюды, текстурными и структурными особенностями. Габбро верховьев Средней, занимающие площадь около 35 км², могут быть использованы в качестве облицовочного камня. Из благоприятных признаков можно отметить: приятные темно-зеленые тона, обусловленные цветом амфиболов и пироксена; массивную текстуру, наличие мелкозернистых разностей, дающих крупноглыбовый элювий.

Базальты, слагающие субвулканические тела в междуречье Бургагылканы–Хетанджи, могут использоваться как сырье для каменного литья. Они обладают благоприятной структурой (интерсергальной) и необходимым химическим составом ($\text{SiO}_2=49\text{--}51\%$; $\text{Fe}_2\text{O}_3+\text{MgO}+\text{CaO}=15\text{--}18\%$; $\text{Al}_2\text{O}_3=17\%$).

В качестве заполнителей для тяжелых бетонов пригодны аллювиальные галечники, слагающие II надпойменную террасу Челомджи в районе впадения руч. Нелкалканы. Ширина террасы 4–5 км, протяженность около 15 км. Мощность слоя галечников достигает 10 м. Галька разноразмерная, различной степени окатанности и на 80% сложена лейкократовыми гранитами. Связующая масса состоит из неравномернозернистого аркозового песка и гравия с незначительным количеством слюды.

Технические испытания строительных материалов не проводились.

ПОДЗЕМНЫЕ ВОДЫ

Специальные мерзлотно-гидрогеологические исследования на территории не проводились. Согласно схеме гидрогеологического районирования Северо-Востока СССР [4] территория расположена в пределах Яно-Колымской гидрогеологической области и Охотско-Чукотской области вулканогенных супербассейнов. В состав последней входит Ямо-Тауйский артезианский бассейн с осадочным чехлом кайнозойского возраста (Эльгенджинская и Челомджинская впадины). На гидрогеологической карте Северо-Востока СССР описываемая площадь охватывает I и II температурные районы, находясь, таким образом, в зоне перехода сплошной многолетней мерзлоты в прерывистую [4]. Для таких участков характерна мощность мерзлых пород под долинами 70–100 м, а под возвышенностями около 200–300 м. Отсутствие сплошной многолетней мерзлоты можно предполагать в долине Челомджи и бассейне нижнего течения Хетанджи.

По отношению к толще многолетней мерзлоты подземные воды территории подразделяются на надмерзлотные и подмерзлотные. Надмерзлотные по условиям залегания относятся к водам сезонноталого слоя и таликов речных долин.

Воды сезонноталого слоя циркулируют в рыхлых четвертичных образованиях и местами в верхнем трещиноватом слое коренных пород. Глубина залегания вод от 0,1–0,2 до 3–4 м и определяется величиной сезонного оттаивания грунта, которая зависит от литологического состава пород, экспозиции склонов и т.п.

Воды сезонноталого слоя безнапорные, они накапливаются в пониженных частях рельефа, обуславливая заболоченность этих участков, или образуют нисходящие непостоянные источники на склонах гор, де-

бит которых не превышает 1 л/с. Питание вод происходит за счет атмосферных осадков и оттаивания деятельного слоя. Уже в начале сентября в связи с наступлением заморозков дебит источников заметно сокращается, а к концу сентября источники прекращают свое существование. Воды этого типа обычно бесцветные, слабо минерализованные, но на заболоченных участках иногда окрашены гуминовыми кислотами (бассейны Эльгенджи, Колчана, Близкого). В летний период воды сезонноталого слоя могут использоваться в небольших масштабах для местных нужд.

Подземные воды таликов речных долин на территории установлены в нижнеплейстоценовых аллювиальных отложениях Эльгенджинской впадины на правобережье Бургагылана [8]. Здесь в мае 1971 г. тремя шурфами вскрыта таликовая зона на глубинах 11, 5 и 2 м. Этот талик расположен на правобережье небольшого ручья и имеет уклон (около 30°) в сторону русла. Таликовый горизонт в верхней частиложен песком, в нижней – галечниками; видимая мощность его 5 м. Грунтовые воды циркулируют в галечниках и имеют небольшой напор.

Можно предполагать, что аналогичные водоносные талики имеются в поймах крупных рек, таких как Челомджа, Бургагылан, Бутыкан, Средняя, Хетанджа, Хивэгчана и др. Питание грунтовых вод происходит за счет атмосферных осадков, поверхностных вод, оттаивания деятельного слоя, а на участках сквозных таликов, возможно также за счет подмерзлотных вод.

Зимой воды таликов речных долин выжимаются на дневную поверхность и образуют наледи. Наледи длиной около 1 км имеются в долинах Верхней, Хетанджи, Хивэгчана, Хетанджи, Правой Средней, Кутани, Паруса. Мощность льда наледей от 0,5 до 2-3 м. Чаще всего наледи наблюдаются вблизи устьев притоков, все они однолетние и ставят в июле-августе.

Грунтовые воды таликов речных долин являются основным и надежным источником питьевого и технического водоснабжения на Северо-Востоке СССР. В большинстве случаев в соседних районах они относятся к гидрокарбонатно-кальциевым с минерализацией до 100 мг/л, обладают хорошими питьевыми качествами и не имеют запаха.

Подмерзлотные воды в районе не установлены. По аналогии с прилегающими территориями следует ожидать широкое развитие подмерзлотных вод трещинного и трещинно-жильного типа. Такие воды обнаружены в соседнем с севера районе на глубине 84 м при разведке угольного месторождения в бассейне Широкой [19]. Южнее, в бассейне нижнего течения Бутыкана, известен восходящий источник подмерзлотных вод. Температура его воды не превышает 2-3°, дебит около 10 л/с. По химическому составу воды относятся к хлоридно-гидрокарбонатно-натриевым с минерализацией 60 мг/л [4].

ОЦЕНКА ПЕРСПЕКТИВ РАЙОНА

Перспективы района в отношении полезных ископаемых определяются прежде всего его положением на западном фланге Охотско-Чукотской золотоносной субпровинции [7], где в последнее десятилетие геологами Северо-Востока СССР открыты весьма перспективные золото-серебряные месторождения эпимерального типа. Из других полезных ископаемых здесь могут быть открыты и разведаны месторождения горючих ископаемых, строительных материалов, подземных вод.

Наибольший практический интерес представляет в настоящее время участок концентрации золото-серебряных проявлений в бассейне верхнего течения Хетанджи. Из благоприятных общегеологических факторов, отмечаемых П.В.Бабкиным, В.П.Василенко, А.А.Сидоровым [1] и другими геологами как контролирующих золотое оруденение в Охотско-Чукотском вулканогенном поясе, здесь можно назвать следующие: расположение участка в районе пересечения двух глубинных разломов и приуроченность его к периферической части отрицательной структуры (Нелиньюской структуре обрушения), ограниченной колышевыми сбросами; контрастность состава вулканогенных образований и присутствие серий щелочных пород, наличие покровов ольских игнимбритов – потенциальных экранов.

Прямые поисковые признаки – шлиховой и металлометрический ореолы рассеяния золота, поля метасоматически измененных пород, вмещающих кварцевые жилы, зоны дробления и кварцевого прожилкования, окварцованные дайки с содержаниями золота 1-3 г/т и до 1000 г/т серебра. Здесь выявлено свыше 30 кварцевых жил мощностью от 0,2 до 2-3 м и протяженностью в несколько сотен метров.

В 1970 г. на участке были выполнены геологическая съемка м-ба 1:50 000 и комплекс поисковых работ, однако полученные данные не позволяют в настоящее время однозначно оценить объект. Содержание золота в металлометрических пробах от 0,01-0,1 до 1-2 г/т.

Общая геологическая ситуация, наличие прямых поисковых признаков, открытие Бургагылансского золото-серебряного месторождения в периферической части Нелиньюской структуры обрушения позволяют считать бассейн верхнего течения Хетанджи первоочередным объектом для поисков золото-серебряных месторождений эпимерального типа. Рекомендуется постановка площадной металлометрической съемки м-ба 1:25 000 – 1:10 000 на двух участках: в междуречье Нелинья-Хетанджи и истоках Хетанджи (рис.5). Общая площадь около 50 км². В комплексе с металлометрией целесообразно выполнить площадную электроразведку с последующей детализацией наиболее интересных участков методом ИЖ.

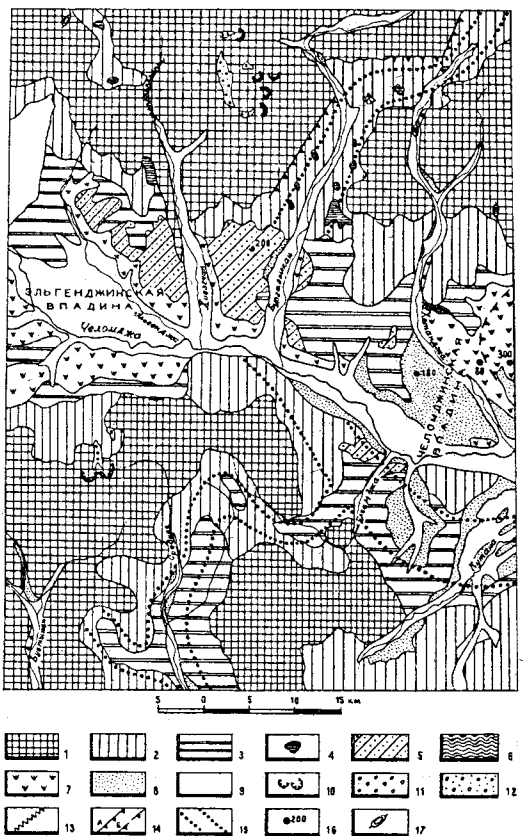


Рис.5. Схема размещения перспективных площадей и рекомендуемых участков для постановки более детальных исследований

Площади перспективные для поисков месторождений: 1 - эпимеральных золото-серебряных; 2 - мезотермальных золото-редкometальных и эпитетермальных золото-серебряных; 3 - мезотермальных золото-редкметальных и оловянно-вольфрамовых; 4 - золотых мезо- и эпитетермальных; 5 - оловянно-вольфрамовых; 6 - каменноугольных; 7 - бурого угля; 8 - облицовочного камня. Рекомендуемые участки: 9 - для постановки геологической съемки м-ба 1:50 000, поисков коренных и россыпных месторождений золота в комплексе с электро- и магниторазведкой (в первую очередь); 10 - то же во вторую очередь; 11 - для поисков коренных золото-серебряных месторождений геохимическим методом в комплексе с электроразведкой; 12 - для поисков россыпей золота (горные работы в комплексе с вертикальным электропрозвонением).

Вторым перспективным объектом для поисков золото-серебряных месторождений являются бассейны Бутыкана, Средней, Елганджи, где Верхне-Челомджинский интрузив пересекается глубинным разломом северо-восточного простирания. Здесь имеется, по-видимому, эродированная интрузивнокупольная структура с широко развитыми кольцевыми и радиальными дизъюнктивами. Из благоприятных общегеологических факторов следует отметить также контрастность состава интрузивных и вулканических пород, наличие полей гидротермально измененных и грейзенизованных пород, кварцевых жил. К прямым поисковым признакам относятся: шлиховой ореол рассеяния золота, кварцевые жилы, секущие эфузивы и интрузивные образования с содержаниями золота до 0,5 г/т и серебра до 100 г/т. Золото ассоциирует с редкими металлами и оловом, что, возможно, объясняется значительным эрозионным срезом и металлогенической специализацией интрузивных пород Верхне-Челомджинского массива.

На этом объекте, на площади около 1000 км² (см.рис.5) рекомендуется постановка геологосъемочных работ м-ба I:50 000 с целью поисков коренных и россыпных месторождений золота. Наряду с золото-серебряными месторождениями вполне вероятно обнаружение и золото-редкметальных. Поиски россыпей золота следует начать в бассейнах Правой Средней, Средней, Елганджи, где установлены весовые содержания золота и по геоморфологическим данным намечается древняя долина, испытавшая умеренное поднятие в течение среднего и верхнего плейстоцена. Здесь могут быть обнаружены небольшие россыпи типа Асиберганской и Перевальгинской, известные на территории листа Р-55-XXXI в аналогичной геологической обстановке. Весовые содержания кассiterита в аллювии правых притоков Челомджи, дренирующих лейкократовые граниты, свидетельствуют о перспективности этого района для поисков месторождений олова.

К объектам второй очереди для постановки геологосъемочных работ м-ба I:50 000 относятся бассейны Хивэгчана и Верхней Хетанджи, расположенные на западном фланге Хетанджинской золотоносной зоны. Практический интерес могут представлять гидротермальные образования среди лейкократовых гранитов, в районе пересечения их системой близширотных дизъюнктивов, контролирующих золотое оруденение. На левобережье и правобережье Верхней Хетанджи установлены небольшие металлометрические ореолы рассеяния и коренные проявления с содержаниями золота 0,1-0,2 г/т. Аналогичные проявления известны и в терригенных породах пермского и триасового возраста. Учитывая величину эрозионного среза, который для терригенной толщи определяется в 1500-2000 м, здесь представляется возможным выявление небольших россыпных месторождений. К экзоконтакту массива лейкократовых гранитов приурочены

россыпные проявления кассiterита с содержанием до 40 г/м³, позволяющие надеяться на обнаружение промышленно интересных коренных источников олова.

Заслуживают внимания россыпные проявления золота в пределах древней долины Бургагылкана. Весьма благоприятный облик рельефа (расчлененное низкогорье с реликтами высоких террас), формировавшегося в условиях умеренного поднятия, и наличие шлихового золота почти во всех боковых притоках указывают на возможность обнаружения промышленных концентраций металла. Рекомендуются шурфовые (или буровые) работы, а также изучение древней долины методом вертикального электроразведывания.

Из горючих ископаемых на территории могут быть выявлены небольшие по размерам месторождения каменного и бурого угля, а также разведаны значительные запасы торфа. Угленосность связана с нижнемеловой молассой (бассейны Хивэгчана, Бургагылкана), а также предполагаются угленосные плиоценовые отложения в Эльгенджинской и Челомджинской впадинах по аналогии с соседними районами, где плиоценовые образования Ямо-Тайской системы впадин нередко содержат пласты бурого угля [3]. Торфяники могут быть разведаны в бассейнах нижних течений Хетанджи и Кутаны. Однако, учитывая значительную удаленность территории от экономически освоенных районов, отсутствие дорог, проведение специальных поисковых работ на горючие ископаемые в настоящее время нецелесообразно.

Перспективы нефтегазоносности территории крайне ограничены. Они связаны с возможной газоносностью неогеновых отложений, наличие которых предполагается под рыхлыми четвертичными образованиями впадин. Однако трудно ожидать значительные мощности этих отложений на окраине Ямо-Тайской системы впадин, что отчасти подтверждается и геофизическими исследованиями [8].

Территория перспективна на строительные материалы. На правобережье Челомджи, в пределах развития лейкократовых гранитов, могут быть разведаны значительные запасы строительного камня хорошего качества. Для каменного литья пригодны субвулканические базальты бассейна верхнего течения Хетанджи. В верховых Средней могут быть выявлены большие запасы облицовочного камня (габбро). Имеются практически неограниченные запасы бутового камня, для приготовления которого пригодны гранитоиды Майданджинского и Верхне-Челомджинского массивов. Для оценки запасов галечников, заполнителей длятяжелых бетонов, необходима постановка разведочных работ на правобережье Челомджи, а поиски их можно вести в долинах большинства водотоков.

Постановка работ, в первую очередь на золото, на рекомендованных площадях несомненно будет способствовать выявлению новых промышленно-ценных объектов в дополнение к открытому на прилегающей территории Бургагылканскому золото-серебряному месторождению, что в совокупности позволит создать надежную минерально-сырьевую базу для развития горнорудной промышленности.

ЛИТЕРАТУРА

Опубликованная

1. Бабкин Н.В., Василенко В.Н., Сидоров А.А. Структурный контроль золото-серебряного оруденения. "Колыма", 2, Магадан, 1973.
2. Белый В.Ф., Николаевский А.А., Тильман С.М., Шило Н.А. Тектоническая карта Северо-Востока СССР (масштаб 1:2 500 000). Тр. СВНИИ, вып. II, Магадан, 1964.
3. Геология СССР, том XXX, Северо-Восток, М., "Недра", 1970.
4. Гидрогеология СССР, том XVI, Северо-Восток, М., "Недра", 1972.
5. Закандырин В.В. Геологическая карта СССР м-ба I:200 000. Серия Магаданская, лист Р-56-XXXI. М., "Недра", 1965.
6. Закандырин В.В. Геологическая карта СССР м-ба I:200 000. Серия Верхне-Колымская, лист Р-55-XXXVI, Госгеолтехиздат, 1963.
7. Матвеенко В.Т. Объяснительная записка к металлогенической карте Востока СССР м-ба I:1 500 000 (золото), отчет по теме 289, Ленинград, 1970.

Фондовая^{x)}

8. Бобры И.А. Отчет о геологической съемке м-ба I:50 000 (листы Р-55-I25-Б, Р-55-I26-А,Б,В,Г) и поисках рудных золото-серебряных месторождений эпимерального типа в междуречье Хетанджи и Бургагылкана - левых притоков р.Челомджи (Хетанджинская геологосъемочная партия), 1973.
9. Жидов А.С. Отчет о работе Сеймчанской аэромагнитной партии, 1959, № 012907.

^{x)}Работы хранятся в геологическом фонде Северо-Восточного ордена Трудового Красного Знамени территориального геологического управления.

10. Злобин К.Т. Отчет о работе Кава-Челомджинской геолого-рекогносцировочной партии о геологических исследованиях в районе Кава-Челомджинского междуречья, м-б I:500 000, 1951, № 8899.
11. Закандырин В.В. Отчет о работе Челомджинской геологосъемочной партии м-ба I:500 000, 1957, № 012196.
12. Калугин Х.И. Геологическое строение области Охотско-Кулинского водораздела (стратиграфия и тектоника). 1950, № 8241.
13. Карчавец В.П. Информационный отчет о результатах полевых работ Хетанджинской геологосъемочной партии м-ба I:50 000. 1971, № 0648.
14. Литвинов В.Е. Отчет о геологической съемке м-ба I:200 000 (лист Р-55-XXXIII) в бассейне р.Челомджи (Верхне-Челомджинская геологосъемочная партия). 1973.
15. Мюскалев В.А., Лисицын В.И., Архипенко К.И., Вашилова Л.Я. Отчет о работе Сеймчанской гравиметрической партии м-ба I:I 000 000. 1965, № 014747.
16. Осипов А.П., Тафинцев Г.В. Геологическая карта СССР масштаба I:200 000. Серия Верхне-Колымская, лист Р-55-ХХVIII. 1968, № 0877.
17. Павлов И.А. Отчет о работе Бургагылканской геологосъемочной партии м-ба I:50 000. 1970, № 0016052.
18. Петров П.С. Отчет о работе Челомджинской геолого-рекогносцировочной партии м-ба I:500 000. 1944, № 6244.
19. Петрищев А.С. Отчет о геологоразведочных работах по Челомджинскому каменноугольному месторождению за период с 1951 по 1953 г. 1954, № 7824.
20. Тафинцев Г.В. Окончательный отчет о работе Майданджинской геологосъемочной партии м-ба I:200 000. 1967, № 015244.
21. Эштейн О.Г. Отчет по теме 810. Литология и условия образования пермских вулканогенно-осадочных пород южной части Яно-Колымской складчатой области. 1971, № 016269.

Приложение

Список

проявлений полезных ископаемых, показанных на листе Р-55-ХХVIII карты полезных ископаемых м-ба I:200 000

Индекс клетки на карте	№ на карте	Вид полезного ископаемого и название (местонахождение проявления)	Ссылка на литературу (номера по списку литературы)	Примечание
I	2	3	4	5

Твердые горючие ископаемые

Каменный уголь

I-2	3	р.Хивэгчан	18	Делювий
-----	---	------------	----	---------

Металлические ископаемые

Цветные металлы

Свинец

I-2	I	руч.Икар	I4	Коренной выход
I-2	2	руч.Икар	I4	Элювий
I-4	IO	р.Хетанджа	8	Коренной выход

Цинк

Ш-I	4	р.Бутыкан	I4	Делювий
IV-I	I	- " -	I4	То же

Олово

I-I	4	руч.Икар	I4	Ореол рассеяния (шлаковое опробование)
Ш-I	I	руч.Нелкалкан	I4	То же
Ш-I	3	руч.Ясалкан	I4	Ореол рассеяния (металлометрическое опробование)

I	2	3	4	5
Редкие металлы и рассеянные элементы				
Молибден				
III-I	5	р.Бутыкан	I4	Коренной выход
IV-I	2	- " -	I4	Эловий
IV-2	I	руч.Восточный	I4	Деловий
Вольфрам				
I-I	I	р.Верхняя Хетанджа	I4	Ореол рассеяния (шаховое опробование)
II-2	I	руч.Колчан	I4	То же
Висмут				
III-2	3	р.Елганджа	I4	- " -
Благородные металлы				
Золото				
I-I	2	р.Верхняя Хетанджа	I4	Коренной выход
I-I	3	То же	I4	Ореол рассеяния (металлографическое опробование)
I-I	5	р.Верхняя Хетанджа	I4	То же
I-I	6	То же	I4	Эловий
I-2	4	р.Хивэгчан	8	Ореол рассеяния (металлографическое опробование)
I-2	5	- " -	I4	Деловий
I-2	6	- " -	I4	То же
I-2	7	- " -	I4	Эловий
I-3	I	р.Бургагылкан	I4	Деловий
I-3	2	- " -	I4	Эловий
I-3	3	- " -	I4	То же
I-3	4	- " -	8	Ореол рассеяния (металлографическое опробование)
I-3	5	р.Бургагылкан	I4	Эловий
I-3	6	руч.Дефо	8	Ореол рассеяния (металлографическое опробование)

I	2	3	4	5
I-4	I	р.Хетанджа	8,14	Ореол рассеяния (металлometрическое опробование)
I-4	2	- " -	8,14	Эловий
I-4	3	- " -	8	Коренной выход
I-4	4	руч.Нелинь	II	Эловий
I-4	5	- " -	8	Деловий
I-4	6	р.Хетанджа	I4	Эловий
I-4	7	- " -	I4	То же
I-4	8	руч.Нелинь	I4	- " -
I-4	9	р.Хетанджа	8	Деловий
I-4	II	- " -	I4	Эловий
I-4	I2	- " -	8	Коренной выход
I-4	I3	- " -	I4	Эловий
I-4	I4	- " -	8	Деловий
I-4	I5	- " -	8	Эловий
I-4	I6	руч.Нелинь	8	То же
I-4	I7	- " -	I4	Деловий
I-4	I8	- " -	8	Эловий
II-3	I	руч.Дефо	I4	То же
II-3	2	р.Бургагылкан	I4	- " -
II-3	3	- " -	I4	Коренной выход
II-4	I	руч.Нелинь	I4	Деловий
II-4	2	- " ..	8	Эловий
II-4	3	- " -	I4	Деловий
II-4	4	- " -	I4	Коренной выход
II-4	5	- " -	8	Эловий
II-4	6	р.Хетанджа	I4	Ореол рассеяния (металлometрическое опробование)
III-I	2	руч.Ясалкан	I4	Эловий
III-2	I	р.Средняя	I4	- " -
III-3	I	р.Елганджа	I4	Ореол рассеяния (шиховое опробова- ние)
IV-I	3	р.Бутыкан	I4	Эловий
Серебро				
III-2	2	р.Елганджа	I4	Деловий